

Virtual Reality and Visualization

Surface visualization

Volume visualization

Virtual Endoscopy

Bernhard Preim BVM Tutorial, März 2008

1

Content

2D and 3D Visualization for the Exploration of Medical Image Data, B. Preim	(15 min.)
Surface Visualization, B. Preim - Marching Cubes and its improvements - Smoothing of surface visualizations	(30 min.)
Direct Volume Visualization, D. Bartz - Ray casting and texture-based approaches - Projection methods	(30 min.)
3D Vessel Visualization, B. Preim	(35 min.)
Virtual Endoscopy, D. Bartz	(30 min.)
Virtual and Augmented Reality, D. Bartz	(20 min.)

Bernhard Preim BVM Tutorial, März 2008

2



Medical Image Data

Regular data in an orthogonal lattice

Resolution:

- Anisotropic datasets (slice distance > distance of pixels in the slice)
- Typical: CT or MRI data: 512x512 per slice,
80-250 slices, resolution: 12 bit per slice,
~ 20-50 MVoxel
- High-End: Multi-Slice CT: 1024x1024 per slice,
up to 2000 slices (whole body scans), ~ 4000 MVoxel
- Less usual: PET, SPECT with a lower resolution



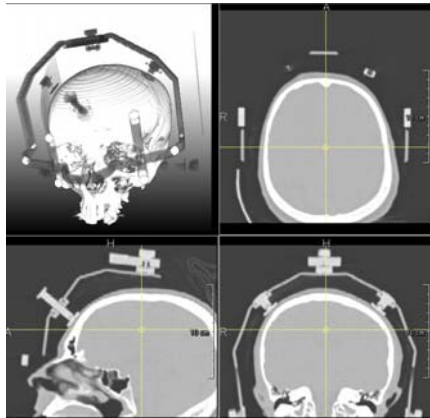
2D and 3D Visualization for the Exploration of Medical Image Data

- 3D visualizations:
 - clearly arranged, descriptive, intuitive
 - give an overview on spatial relations
- 2D visualizations:
 - are common in radiological diagnostics
 - permit the precise evaluation of structures
 - permit exact selections (for measurements, ...)
- Combination of both representations with suitable synchronizations





2D and 3D Visualization for the Exploration of Medical Image Data



- Synchronized 2D and 3D views.
- The crosshairs in one of the orthogonal 2D views can be used to select the slice displayed in the other two 2D views.
- Brightness and contrast of one view can be transferred to other views.



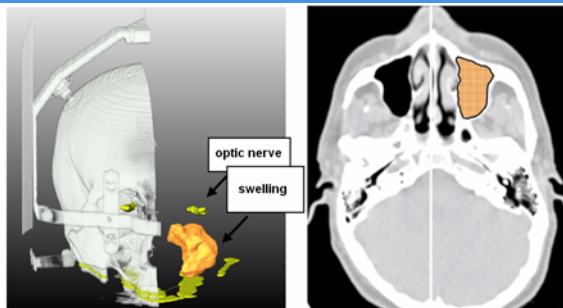
Visualization Research Group
University of Magdeburg

Bernhard Preim BVM Tutorial, März 2008

5



2D and 3D Visualization for the Exploration of Medical Image Data



Images Dörte Apelt, MeVis Research

Planning of ENT interventions.

- 3D presentation of an ENT intervention. The relation between optic nerve and swelling is displayed, whereas a clip plane hides parts of the original data. Illustration of the swelling in the axial slice with a drawn-in clip plane.



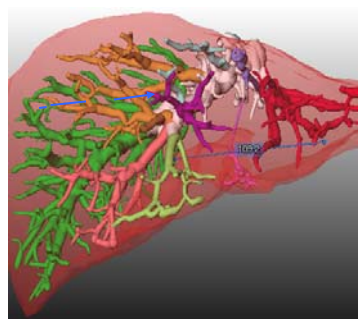
Visualization Research Group
University of Magdeburg

Bernhard Preim BVM Tutorial, März 2008

6



2D and 3D Visualization: Measurement



Distance measurement in 3D and 2D visualization. The endpoints of the lines can be moved in both views, whereas the respective view is adapted.



Visualization Research Group
University of Magdeburg

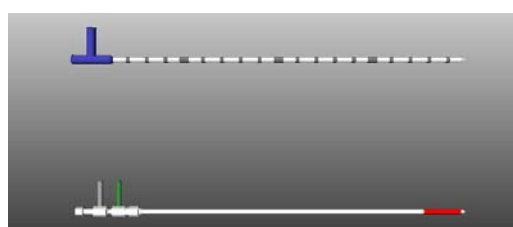
Bernhard Preim BVM Tutorial, März 2008

7



2D and 3D Visualization: Placement of Applicators

- Aims of exploration:
 - access planning of biopsies
 - planning of thermal ablations



Images Courtesy
Olaf Konrad, MeVis
Research

Geometric models of high-frequency and laser applicators for the thermal treatment of liver tumors.



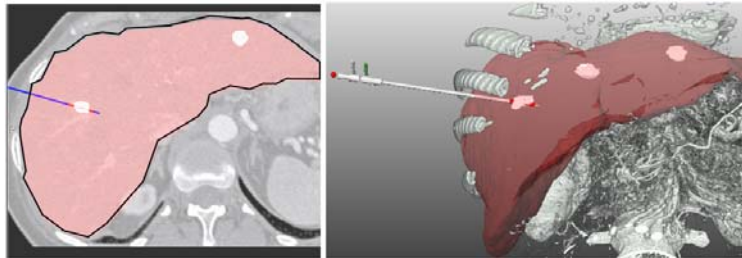
Visualization Research Group
University of Magdeburg

Bernhard Preim BVM Tutorial, März 2008

8



2D and 3D Visualization: Placement of Applicators



Images Courtesy Arne Littmann, MeVis Research

- Placement of the applicator into the center of a metastasis in 2D (the active zone is red).
- Placement of the applicator by means of a 3D visualization, whereas the bones are displayed as volume rendering, and the liver surface and the metastases are displayed as isosurfaces.



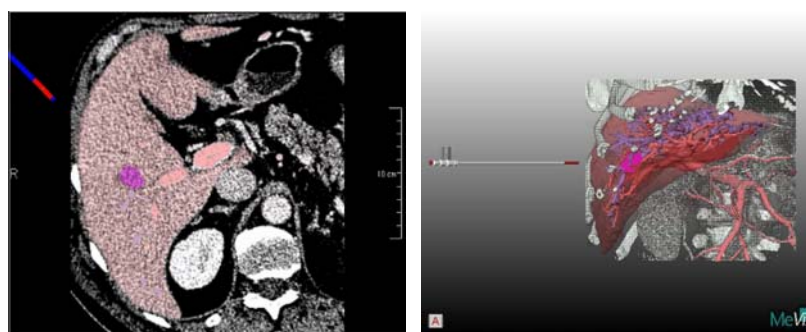
Visualization Research Group
University of Magdeburg

Bernhard Preim BVM Tutorial, März 2008

9



2D and 3D Visualization: Placement of Applicators



Videos from Arne Littmann,
MeVis Research



Visualization Research Group
University of Magdeburg

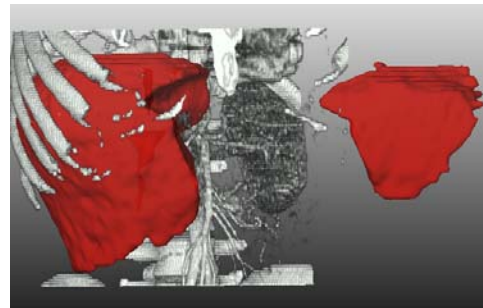
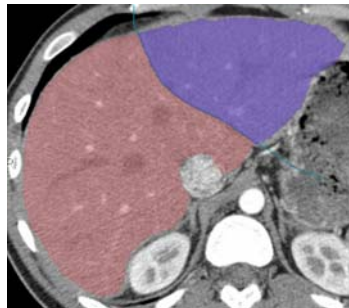
Bernhard Preim BVM Tutorial, März 2008

10



2D and 3D Visualization: Virtual Resection

- Virtual resection by drawing into the slices and shape-based interpolation
- Interaction in 2D (precise), evaluation in 3D



Preim et al., *Proc. of SimVis*, 2003



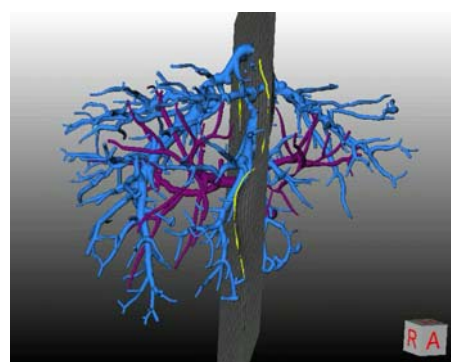
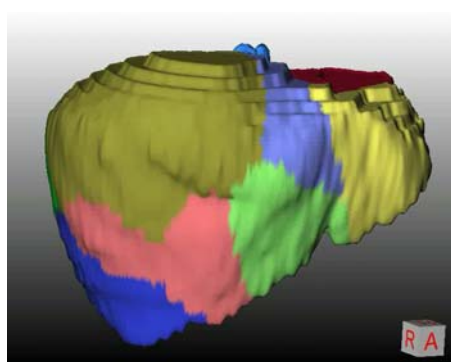
Visualization Research Group
University of Magdeburg

Bernhard Preim BVM Tutorial, März 2008

11



2D and 3D Visualization: Virtual Resection



Videos Milo Hindennach, MeVis Research



Visualization Research Group
University of Magdeburg

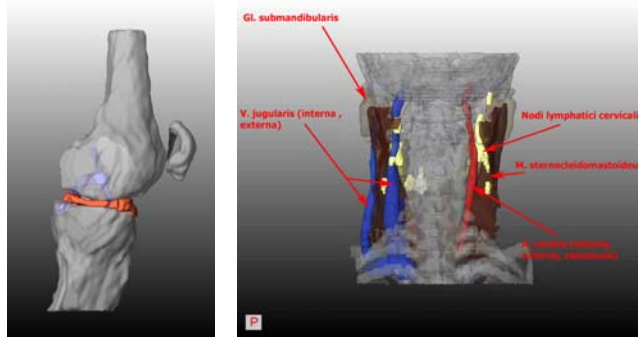
Bernhard Preim BVM Tutorial, März 2008

12



Surface Visualization

Visualization of isosurfaces and segmentation results



Visualization Research Group
University of Magdeburg

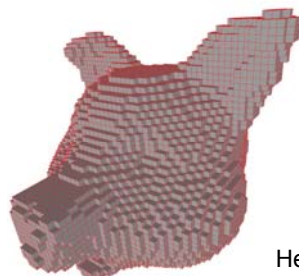


Surface Visualization: Introduction

Assumption:

- Relevant structures are segmented.
- Segmentation is model-based (Snakes, ...), with “classical” procedures (Region Growing, Watershed, ...), or manually
- Segmentation result is binary represented at the voxel plane (1 for the foreground, 0 for the background).

Visualization: 1st idea: presentation of the voxels (“Cuberille” approach)



Herman, Liu (1979)



Visualization Research Group
University of Magdeburg

Bernhard Preim BVM Tutorial, März 2008

14



Surface Visualization: Introduction

Visualization, better idea:

- linear interpolation, depiction on a polygonal surface (isosurface for the value 0.5)
- definition of vertices, triangulation, definition of normals
- rendering by using the graphics hardware

How can this be realized?

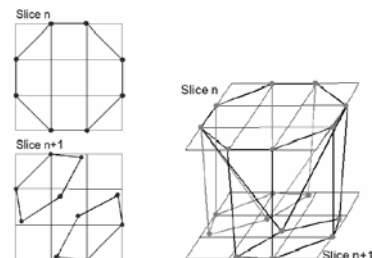
- follow the outlines
 - very difficult in 3D, many case distinctions
- Locally independent inspection of the cells. Determine how the cell is cut from the surface.
 - basic idea of Marching Cubes (patented in 1985, published in 1987)



From Contours in slices to Surfaces

Which problems need to be solved?

- *Correspondence*. (which contour of one slice belongs to a contour at the next slice)
- *Triangulation (Tiling)*. Assume that C_1 and C_2 are corresponding contours. How shall these contours be connected through triangulation nets?
- *Branching problem*. If the number of contours in one slice S_n is different to the number of contours in the neighbor slice S_{n+1} .



„Surfaces from Contours“,
Meyers et al. (1992)



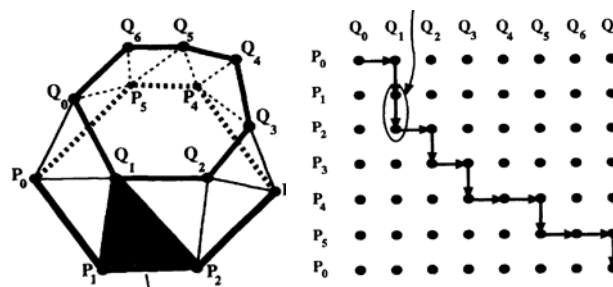
From Contours in slices to Surfaces

- *Correspondence problem.* Comes up, if the following applies:
The contours $C_1(S_n)$ and $C_1(S_{n+1})$ belonging to an object do not overlap themselves, and the number of contours belonging to one object is > 1 in S_n and/or S_{n+1} .
- What does Marching Cubes do?
 - An overlapping of contours in neighbored slices is assumed.
 - When does this procedure not work? In case of a large slice distance or thin objects which proceed diagonal to the slices.
 - If the requirements are not fulfilled, separate surfaces are generated.
- In such cases, correct solutions are complex.



From Contours in slices to Surfaces

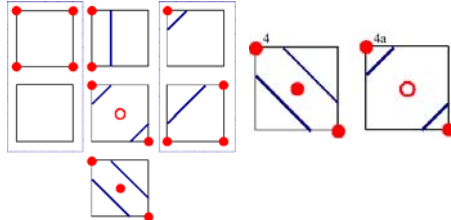
- “Tiling“ problem. Connect n endpoints of the contour in a slice P_i with m endpoints of the contour in the neighbor slice Q_j .
- Criteria (selection):
 - the resulting volume shall be maximal.
 - the resulting plane shall be minimal.
- How can this be solved? Depiction on graph search (Keppel [1972], Fuchs [1977])



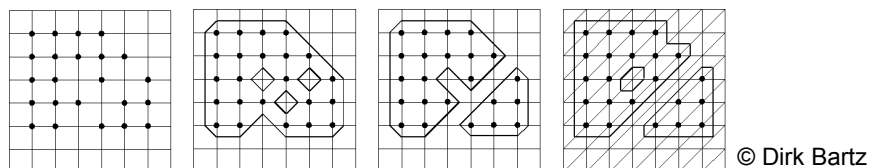


Surface Visualization: Marching Cubes

- Consideration of the 2D case (Marching Squares). Isoline for iso=0.5.



- Ambiguity:

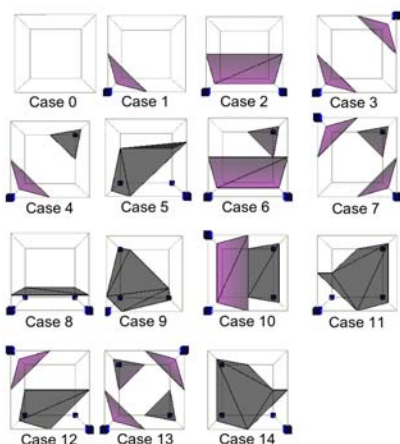


Surface Visualization: Marching Cubes

- Extension to 3D:
- there are 14 topologically different cases of how a cell can proceed through a surface.

Procedure (rough):

- determine the case for each cell.
- determine the triangles if the cell is cut.



© Dirk Bartz





Surface Visualization: Marching Cubes

Marching Cubes

Purpose: transfer of the voxels of a volume with a given value into a triangulation net (Lorensen *et al.* [1987])

Procedure:

1. Consideration of cubes from 4 voxels of the slice k and 4 voxels of the slice $k+1$
2. Check out which vertices are lying above the threshold value, create an index
3. Determine the involved edges
4. Determination of points at these edges through linear interpolation
5. Connection of these points to create triangles



Indirect Volume Visualization: Isosurfaces

Marching Cubes

Step 2:

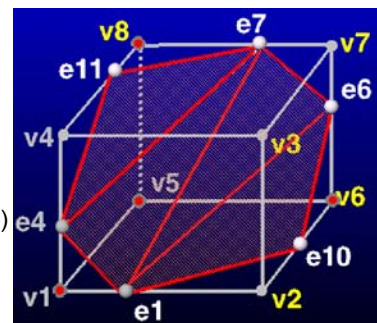
v_1, v_5, v_6, v_8 – above,
 v_2, v_3, v_4, v_7 – below
Index: 1000 1101

Step 4: Linear interpolation

Example: determination of e_1 to the edge $(v_1; v_2)$
 $e_1 = v_1 + (\text{isoval} - f(v_1)) / (f(v_2) - f(v_1)) * (v_2 - v_1)$

Step 5: Triangles

(e_4, e_7, e_{11}) (e_1, e_7, e_4)
 (e_1, e_6, e_7) (e_1, e_{10}, e_6)



© Alexandre Telea





Surface Visualization: Marching Cubes

What is important about Marching Cubes?

- Very simple
- Compared to Cuberille: Better description through linear interpolation
 - But: Viewers are also sensitive for discontinuities of the first and second derivative
- Ambiguities and inconsistencies, no treatment of the correspondence problem, no optimal solution for the tiling problem
- Relatively precise, but improvable
- Relatively fast procedure
 - But: A lot of time is spent on cells which do not contribute to the surface
- Fast rendering



Surface Visualization: Marching Cubes

Quality problems through linear interpolation and Gouraud shading

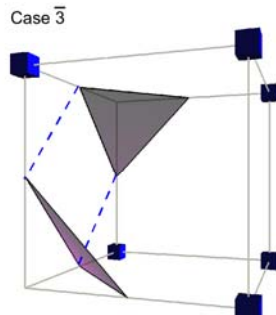
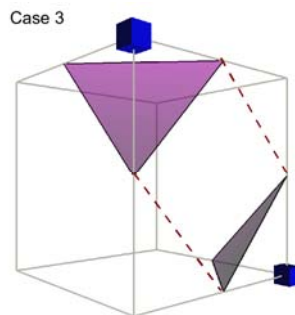


Diamond Artifakt
Virtual bronchoscopy
© Dirk Bartz





Surface Visualization: Marching Cubes



© Dirk Bartz

- Holes in the surface arise, if, for the neighbored cells, once the decision is made to divide the intersections and once the decision is made to connect them.



Visualization Research Group
University of Magdeburg

Bernhard Preim BVM Tutorial, März 2008

25



Surface Visualization: Marching Cubes

- How can this inconsistency be corrected?
 - Rule: e.g., always separate between positive endpoints and connect negative ones
 - Interpolation of points at the interface. The state of this point (above/below) is decisive (Nielsen, Hamann [1991])
 - Decomposition of the cells into tetrahedrons (Shirley, Tuchman [1990])



Visualization Research Group
University of Magdeburg

Bernhard Preim BVM Tutorial, März 2008

26



Surface Visualization: Marching Cubes

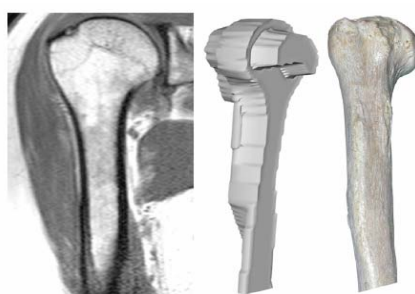
- How can Marching Cubes be accelerated?
 - Fast recognition of areas that are not affected by the surface.
Representation of the scene through hierachic data structures,
e.g., min-max-octrees (Wilhelms, van Gelder [1992])



Surface Visualization: Smoothing and Noise Reduction

Problem:

Generation of surface models from segmentation results
leads to artifacts, especially in case of strongly anisotropic
data



MR data, 3D visualization, picture





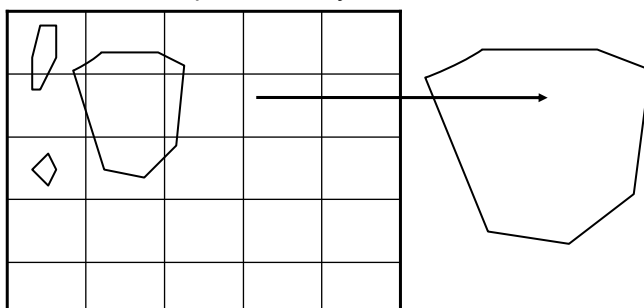
Surface Visualization: Smoothing and Noise Reduction

- **Problem:** Development of many small surfaces which represent artifacts
- **Purpose:** Restriction of the extraction to the largest surface (or a given amount of surfaces)
- **Method:** Connected Component Analysis (according to Schroeder et al.[1998])
- VTK: *vtkConnectivityFilter*



Surface Visualization: Smoothing and Noise Reduction

Connected Component Analysis



Term: Neighborhood: Cells which have common planes, edges or vertices, are neighbored 2,1 or 0





Surface Visualization: Smoothing and Noise Reduction

Algorithm Connected Component Analysis:

While there are cells which are not "visited",

 start with any cell z and mark it as „visited“.

 Initialise the component k

 While there are still neighbored cells z_n of z which contribute to the surface and are not "visited" yet,
 add z_n to the component k and mark it as "visited".

 Continue recursively as long as there are still cells which are neighbored (2,1,0) and not visited yet.

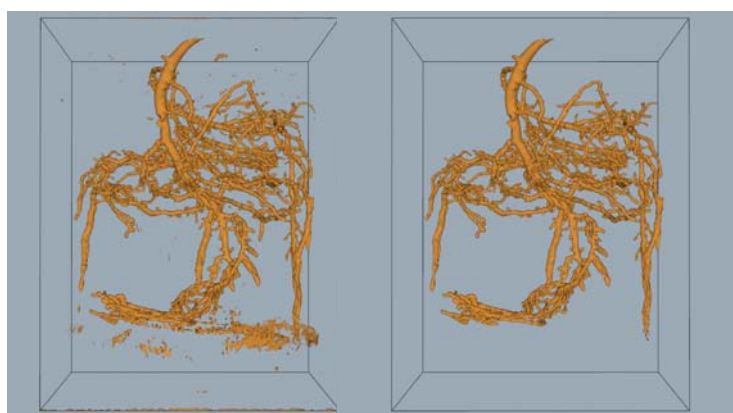
Result: all connected components

Selection of the largest (n) component(s) according to the surface area or length of the object contour



Surface Visualization: Smoothing and Noise Reduction

Connected Component Analysis. Illustration of the largest component.



Digitalized photograph of a pine root

(Source: Schroeder et al. [1998])





Surface Visualization: Smoothing and Noise Reduction

General practice:

- Interpolation of intermediate slices
- “Manual” smoothing
 - e.g., in vtk (vtkSmoothPolyDataFilter), itk, 3D Studio, Amira

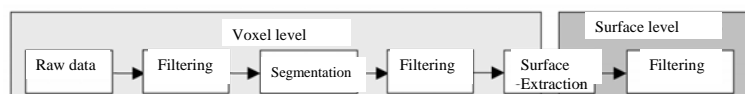
Disadvantages

- complex trial-and-error process
- not reproducible, not standardized
- only visual control



Surface Visualization: Smoothing and Noise Reduction

Extraction of surfaces



Long-term goal:

Pipeline of algorithms for the post-processing of segmentation results (e.g., closure of holes), surface generation and subsequent smoothing

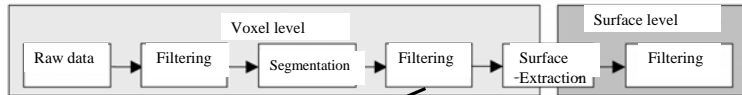
Adaptation of the respective procedures to

- the class of anatomic structure (e.g., tumor, organ, ...)
- imaging or segmentation parameters (e.g., slice distance, model-based segmentation)



Surface Visualization: Smoothing and Noise Reduction

- Smoothing of the segmentation result through smoothing filters (e.g., Gauss) or morphologic methods



0 0 0 0 0 0 0	0 6 26 33 33 26 6
0 0 0 100 100 0	20 33 54 66 66 54 26
0 100 100 100 100 0	33 66 66 100 100 66 33
0 100 100 100 100 0	33 66 66 100 100 66 33
0 0 0 100 100 0	20 33 54 66 66 54 26
0 0 0 0 0 0 0	0 6 26 33 33 26 6

- First of all, erosion and modification:

$$v = v_2 - (v_2 - v_1) * \frac{1}{3}$$

- Afterwards, twice dilatation and modification:

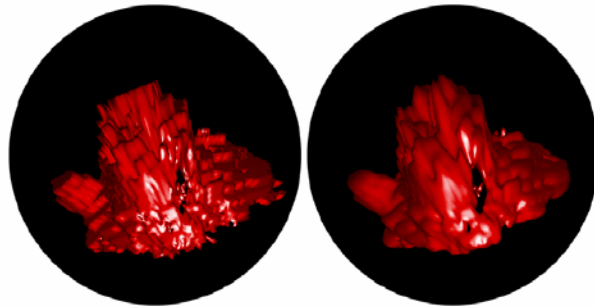
$$v = v_{ref} - (v_2 - v_1) * \frac{d}{3}$$

- d Eucl. Distance, $v_{ref} = 50$

Source: Neubauer et al., IEEE Visualization 2004

Surface Visualization: Smoothing and Noise Reduction

- Smoothing of the segmentation result through morphological methods

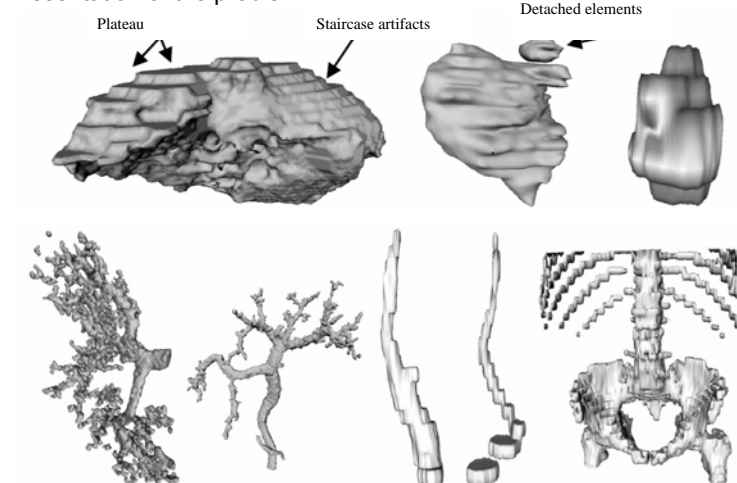


Source: Neubauer et al., IEEE Visualization 2004



Smoothing of Polygonal Surfaces

Presentation of the problem:



Visualization Research Group
University of Magdeburg

Bernhard Preim BVM Tutorial, März 2008

37



Smoothing of Surfaces

- Large amount and diversity of methods
- Very often an academic procedure: smoothing of artificial noise test data
- Clear application in the CAD area and for the smoothing of models which have been acquired with the laser scanner.
- CAD area: preservation of sharp (orthogonal) edges with preferably optimal smoothing of planar areas
- Medical surface models: barely sharp edges, curvatures are partly changing very fast, "large" models



Visualization Research Group
University of Magdeburg

Bernhard Preim BVM Tutorial, März 2008

38



Smoothing of Polygonal Surfaces: Requirements

Analog to the smoothing of image data:

- Elimination of high frequency noise at the receipt of features

Measures/Evaluation:

- curvature plots, total curvatures

- Speed
- Accuracy

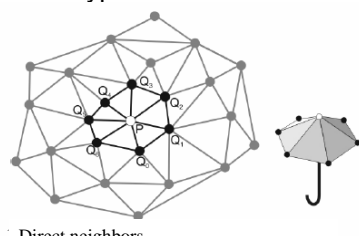
Measures:

- slight distances between the original surface and the smoothed surface
- volume maintenance

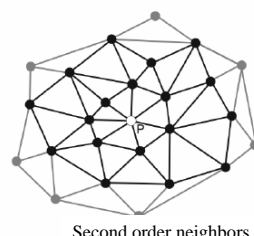


Smoothing of Polygonal Surfaces

- Iterate over all vertices and replace each vertex through a weighted average from its former value and the vertices from the surrounding
- Which surrounding?
 - vertices in a specific distance (Euclidean distance)
 - vertices which are connected to the current vertex (directly or through a path of length n) (topological distance)
 - Typical: vertices in the topological distance of 1 or 2



Direct neighbors



Second order neighbors



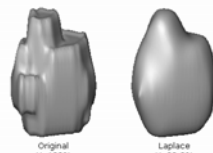


Smoothing of Polygonal Surfaces: Laplace Smoothing

- Considers the points q_i in the topological distance of 1
- Parameter: smoothing factor α and number of iterations

$$p' = p + \frac{\alpha}{n} \sum_{i=0}^{n-1} (q_i - p)$$

- Realized in vtk (vtkSmoothPolyDataFilter), ...
- Simple, fast realization
- Causes strong (uncontrolled) shrinkage and the favored smoothness is often only achieved through total smoothing of minor features

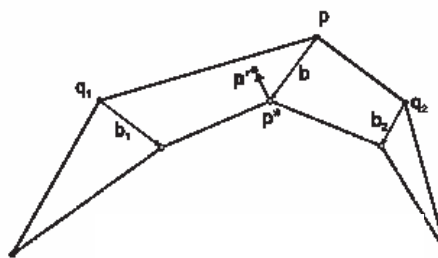


smoothing with $\alpha = 0.5$ and 20 iterations



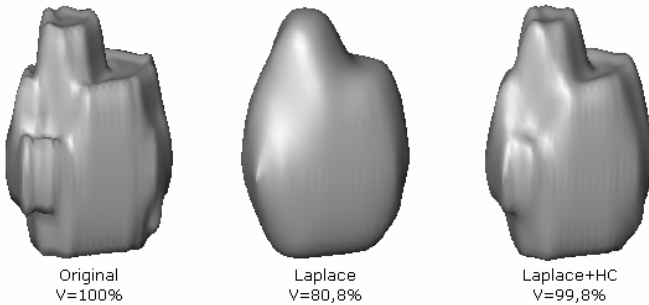
Smoothing of Polygonal Surfaces: Laplace Smoothing with Correction

- Correction to maintain the volume
- In each step, modified nodes are shifted back about a certain value (the average of all shifting in the considered surrounding)
- Additional parameters:
 - How strong is the shifting in direction to the original point?
 - How is the shifting of the neighbors considered?





Smoothing of Polygonal Surfaces: Laplace Smoothing with Correction



Literature: Vollmer et al., „Improved Laplacian Smoothing of Noisy Surface Meshes“, Eurographics, 1999



Visualization Research Group
University of Magdeburg

Bernhard Preim BVM Tutorial, März 2008

43



Visualization Research Group
University of Magdeburg

Bernhard Preim BVM Tutorial, März 2008

44



Visualization Research Group
University of Magdeburg

22



Smoothing of Polygonal Surfaces: Comparison of Elementary Methods

Criteria: Quality, volume maintenance (measurement in Amira), run time

Methods/parameters:

Laplace, Laplace with correction, Low-pass

Different iteration steps: 5, 10, 20, 50

Different weighting factors: 0.05, 0.1, 0.3, 0.5, 0.7, 0.9

Different neighborhood: 1, 2 (topological)

	Leber	Lymphknoten	Kopfwendemuskel	Beckenknochen	Gefäßbaum	Halsschlagader
Faces	37.148	3.412	9.616	53.930	23.236	1.956
Vertices	18.576	1.708	4.804	27.211	11.820	982
Voxel	1.696.250	1.664	101.035	430.318	96.807	16.404



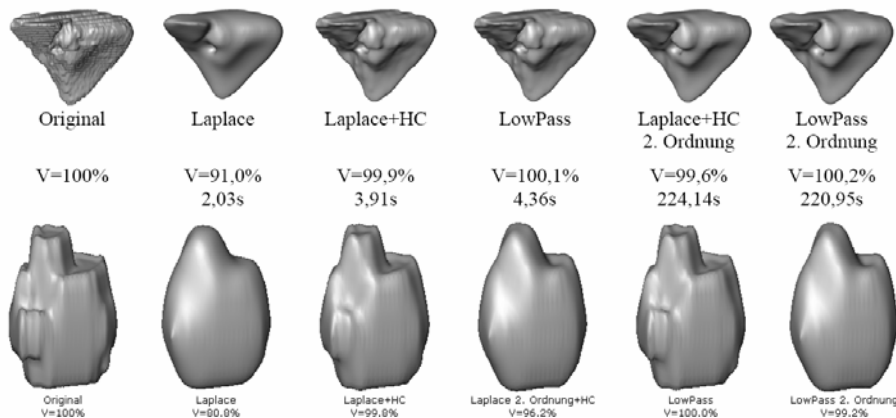
Visualization Research Group
University of Magdeburg

Bernhard Preim BVM Tutorial, März 2008

45



Smoothing of Polygonal Surfaces: Comparison of Methods



Smoothing factor: 0.5, 20 iterations



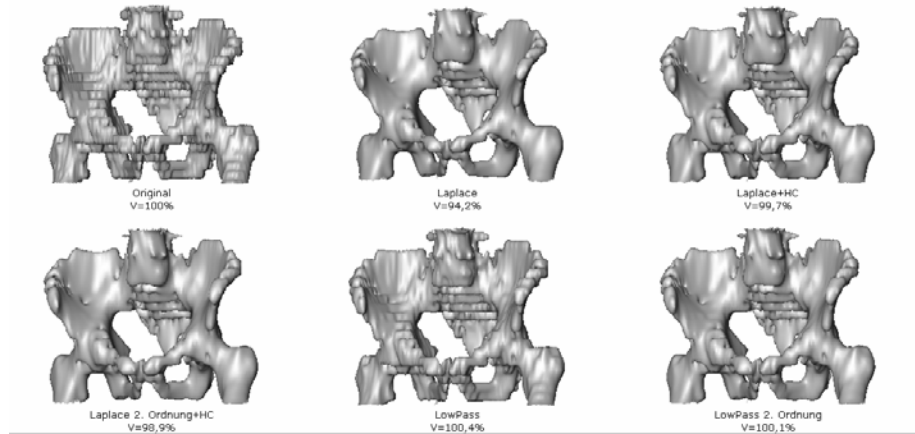
Visualization Research Group
University of Magdeburg

Bernhard Preim BVM Tutorial, März 2008

46



Smoothing of Polygonal Surfaces: Comparison of Methods



All images with smoothing factor 0.5 and 10 iterations



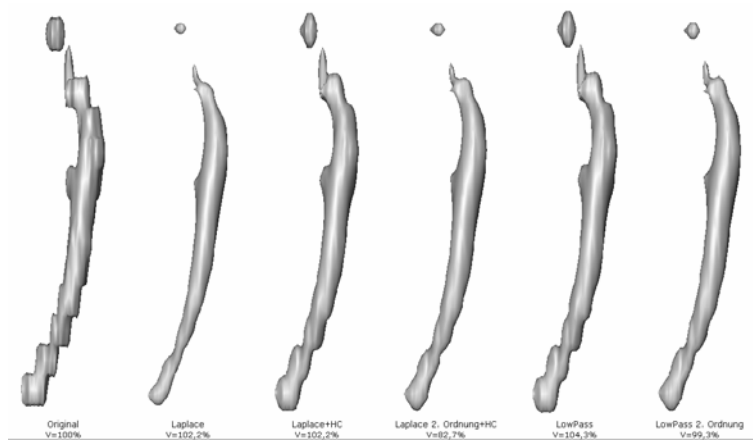
Visualization Research Group
University of Magdeburg

Bernhard Preim BVM Tutorial, März 2008

47



Smoothing of Surfaces: Comparison of Methods



Carotid artery: Smoothing factor: 0.7 and 10 iterations



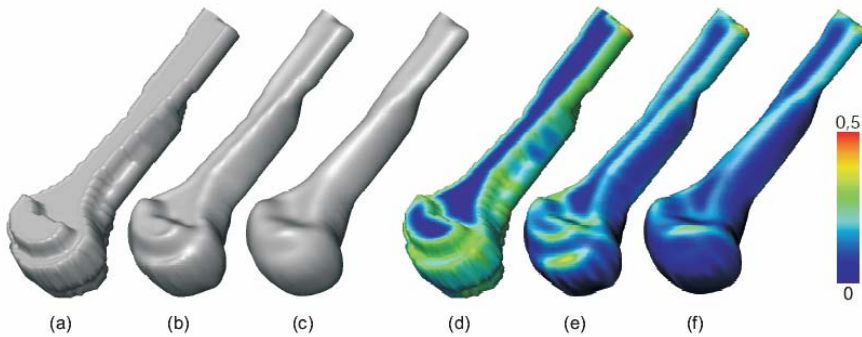
Visualization Research Group
University of Magdeburg

Bernhard Preim BVM Tutorial, März 2008

48



Smoothing of Surfaces: Comparison of Methods



Original, low-pass filtering with one neighborhood and extended neighborhood as well as the corresponding curvature values.



Smoothing of Surfaces: Further Methods

- Average Value Filtering
 - replaces the surface normal for the current point by the average normal of the considered surrounding and adapts the coordinates.
- Median Filtering
 - Sorts the normals in the neighborhood according to the angle of the current normal and - during the sorting - replaces the current normal by the normal which lies in the middle.
- Mean Curvature Flow
 - Uses curvature measures for the modification of vertices.

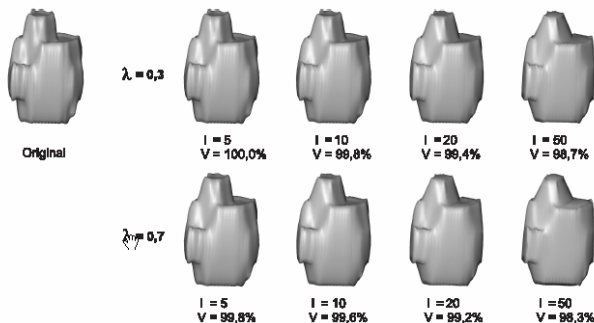




Smoothing of Surfaces

Average value filtering

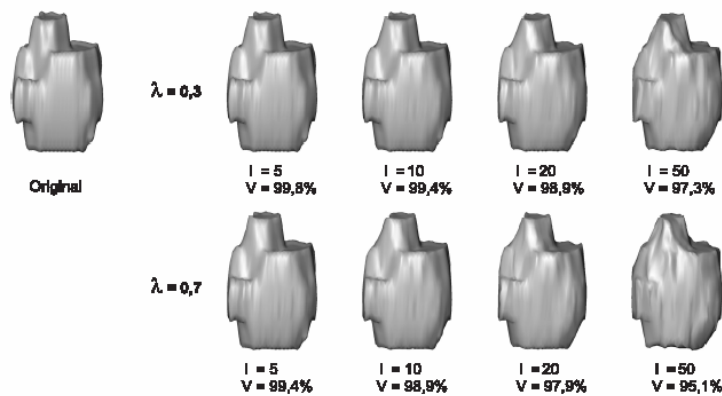
- Good volume maintenance, good smoothing for large and compact objects.
- New artifacts arise in case of smaller objects, especially for a high factor and a large amount of iterations



Smoothing of Surfaces

Median Filtering:

- Main application: maintenance of sharp edges in noise data
- problems similar to the average value filter, partly more distinctive

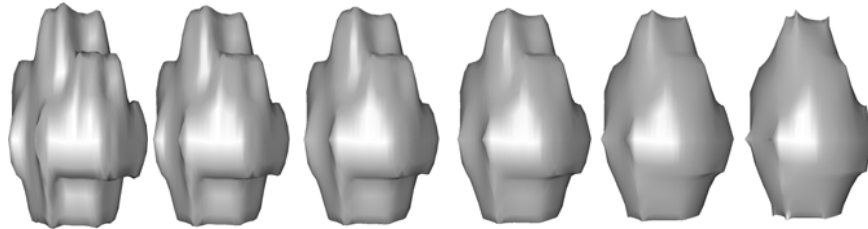




Smoothing of Surfaces

Mean Curvature Flow

- Problematic especially for compact objects in case of stronger smoothing factors



Original, smoothing after 5, 10, 20, 50 and 100 iterations.
No correction for volume maintenance.



Smoothing of Polygonal Surfaces: Recommendations

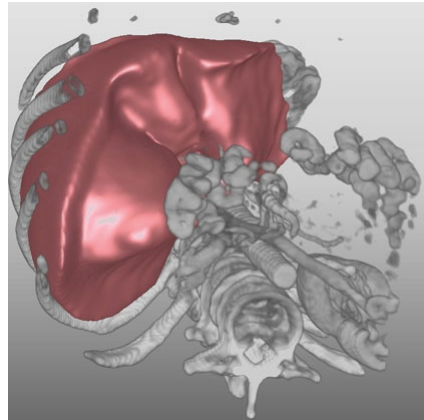
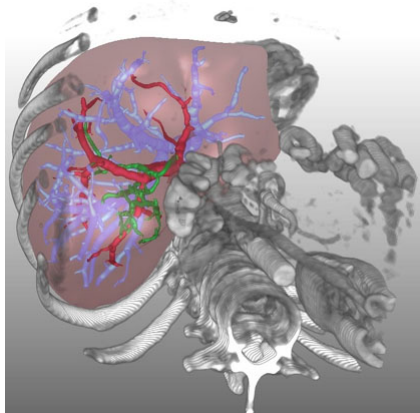
- A low-pass filter is the best solution for all object classes.
- For smaller objects
 - Topological neighborhood of the size 2, 20-50 iterations, weighting: 0.7
- For even objects, especially with problem points:
 - Topological neighborhood: 1, approx. 20 iterations
- For elongated, branching objects:
 - No really good filter (\rightarrow Vessel Visualization part will provide appropriate methods)
 - Low-pass filter with topological neighborhood of 1, weighting factor: 0.5 and 10 iterations





Surface Visualization: Examples

- Embedding of segmented objects (isosurfaces, strongly smoothed) into the anatomic context (DVR)



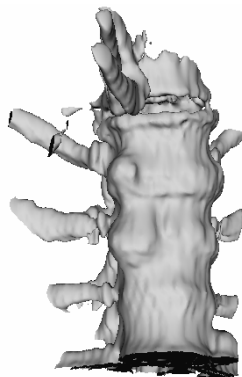
Visualization Research Group
University of Magdeburg

Bernhard Preim BVM Tutorial, März 2008

55



Surface Visualization: Examples



© Wolf Spindler, MeVis Bremen



© Thomas Gerstner, University of Bonn

- Good illustration of bony structures in CT data. Combination of several isosurfaces through an appropriate transparency adjustment.



Visualization Research Group
University of Magdeburg

Bernhard Preim BVM Tutorial, März 2008

56



Surface Visualization: References

- M. Desbrun, M. Meyer, P. Schröder, and A. Barr (1999). „Implicit Fairing of Irregular Meshes Using Diffusion and Curvature Flow“. In Proc. of ACM SIGGRAPH, pp. 317–324, 1999
- GT. Herman and HK. Liu (1979). „Three-dimensional Display of Human Organs From Computed Tomograms“, Computer Graphics and Image Processing, 9(1):1–21
- D. Meyers, S. Skinner, K. Sloan (1992). „Surfaces from contours“, ACM Transactions on Graphics, Vol. 11(3), pp. 228-258
- A. Neubauer, S. Wolfsberger, M. Forster, L. Mroz, R. Wegenkittl, and K. Bühler (2004). STEPS - An Application for Simulation of Transsphenoidal Endonasal Pituitary Surgery. In Proc. of IEEE Visualization, pp. 513–520, 2004
- Will Schroeder, Ken Martin, and Bill Lorensen. The Visualisation Toolkit. Kitware, 3rd edition, 2001.
- Gabriel Taubin (1995). „A Signal Processing Approach to Fair Surface Design“, SIGGRAPH, pp. 351-358, 1995
- G. Nielson and B. Hamann (1991). The Asymptotic Decider: Removing the Ambiguity in Marching Cubes. In Proc. of IEEE Visualization, pp. 83–91, 1991.
- P. Shirley and A. Tuchman (1990). A Polygonal Approximationm to Direct Scalar Volume Rendering. In Proc. of San Diego Workshop on Volume Visualization, pp. 63–70, 1990.



Surface Visualization: References

- R. Bade, J. Haase, and B. Preim (2006). „Comparison of Fundamental Mesh Smoothing Algorithms“, *Simulation and Visualization*, pp. 289-304
All 864 measurements:
<http://wwwisg.cs.uni-magdeburg.de/cv/projects/LST/smoothing/>
- J. Vollmer, R. Mencel, and H. Müller (1999). „Improved Laplacian Smoothing of Noisy Surface Meshes“. In Proc. of Eurographics, pp. 131–138, 1999.
- J. Wilhelms and A. van Gelder. Octrees for Faster Isosurface Generation. ACM Transactions on Graphics, 11(3):201–227, 1992
- Yagou et al., Mesh Smoothing Via Mean and Median Filtering, *Geometric Modelling and Processing*, 2002, pp. 124-131

Overview:

Gabriel Taubin. „Geometric Signal Processing on Polygonal Meshes“, *Eurographics, State of the Art-Report*
<http://mesh.caltech.edu/taubin/publications/taubin-eg00star.pdf>





Software for Medical Visualization

- MeVisLab, www.mevislab.de
- Amira, www.amiravis.com
- VTK, www.vtk.org
- METK www.metk.net

(based on MeVisLab) Software demo: S1 C. Tietjen und K. Mühler, Di. 8.4.)



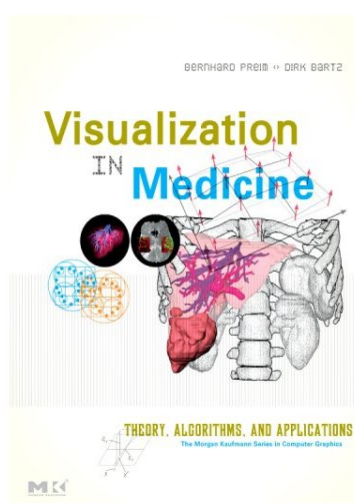
Visualization Research Group
University of Magdeburg

Bernhard Preim BVM Tutorial, März 2008

59



More detail on all this



- 1 Introduction
- 2 Medical Image Data and Visual Perception
- 3 Acquisition of Medical Image Data
- 4 Medical Volume Data in Clinical Practice
- 5 Image Analysis for Medical Visualization
- 6 Fundamentals of Volume Visualization
- 7 Indirect Volume Visualization
- 8 Direct Volume Visualization
- 9 Algorithms for Direct Volume Visualization
- 10 Exploration of Dynamic Medical Volume Data
- 11 Transfer Function Specification
- 12 Clipping, Cutting, Virtual Resection
- 13 Measurements in Medical Visualization
- 14 Visualization of Vascular Structures
- 15 Virtual Endoscopy
- ...



Visualization Research Group
University of Magdeburg

Bernhard Preim BVM Tutorial, März 2008

60



Links for Further Exploration

- GI-Fachgruppe „Visual Computing in der Medizin“ (www.fg-medvis.de). Next meeting: Berlin, 9. April
- Eurographics Workshop „Visual Computing in Biomedicine“ (www.vcbm.org, Delft, October)
- Related (and longer) tutorials:
 - <http://wwwisq.cs.uni-magdeburg.de/cvcms/de/tutorials>
- MedVis-Book (www.medvis-book.de)
- Software:
 - AmiraVis, www.amiravis.com
 - METK, www.metk.net
 - MeVisLab, www.mevislabs.de
 - VTK, www.vtk.org



Visualisierung und virtuelle Realität in der Medizin

Volumenvisualisierung

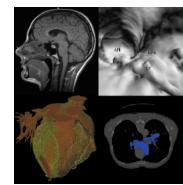
Dirk Bartz

Visual Computing (ICCAS), University of Leipzig

dirk.bartz@iccas.de

(teilweise basierend auf Material von Klaus Mueller,
Stony Brook Univ.)

UNIVERSITÄT LEIPZIG



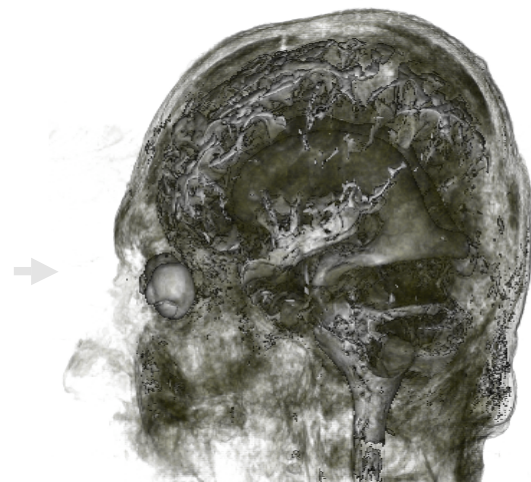
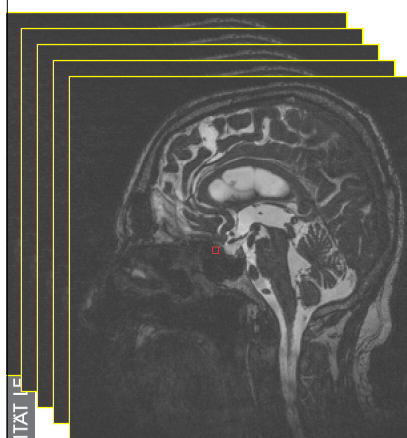
ICCAS
innovation center
computer assisted surgery

Visual
Computing (VCM)



Einführung (1)

Visual
Computing (VCM)



UNIVERSITÄT LEIPZIG

ICCAS

Visualisierung und VR in der Medizin, BVM 2008

2



Einführung (2)

Visual
Computing (VCM)



UNIVERSITÄT LEIPZIG

ICCS

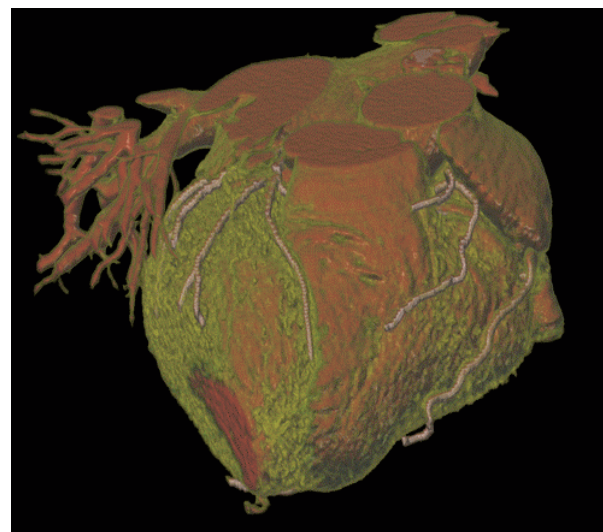
Visualisierung und VR in der Medizin, BVM 2008

3



Einführung (3)

Visual
Computing (VCM)



UNIVERSITÄT LEIPZIG

ICCS

Visualisierung und VR in der Medizin, BVM 2008

4

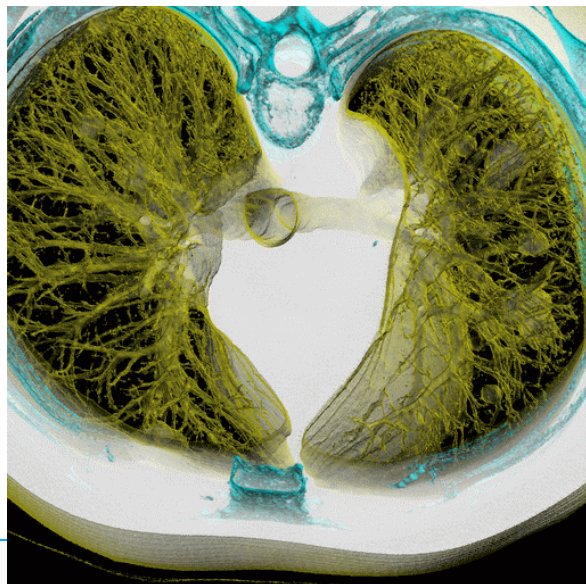


Einführung (4)

Visual
Computing (VCM)

UNIVERSITÄT LEIPZIG

ICCS



8

5

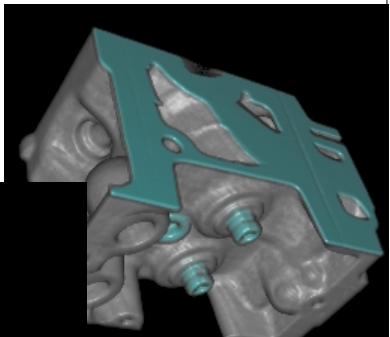
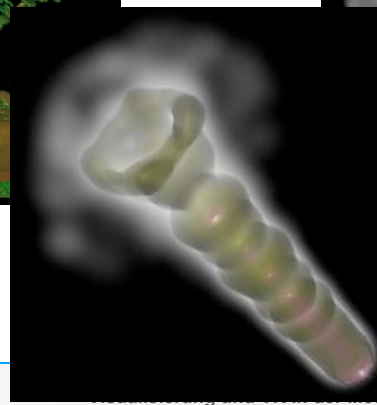
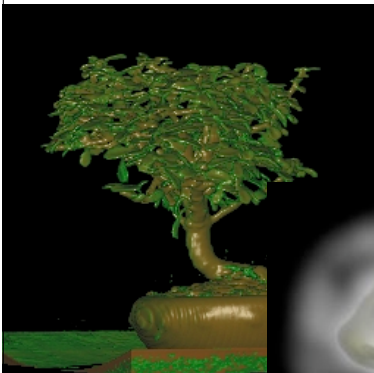


Einführung (5)

Visual
Computing (VCM)

UNIVERSITÄT LEIPZIG

ICCS



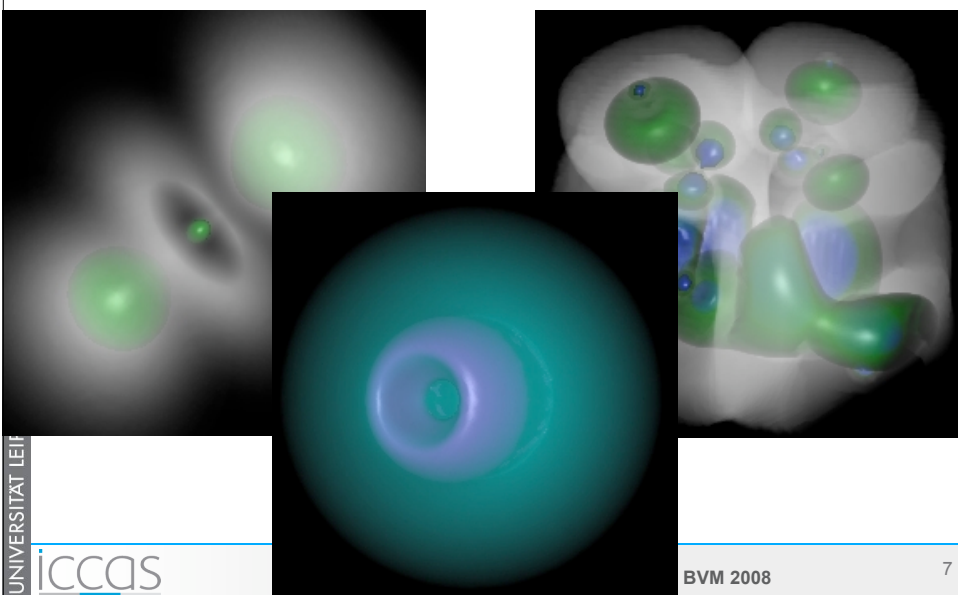
6

W. Stricker, BVM 2008



Einführung (6)

Visual
Computing (VCM)



UNIVERSITÄT LEIPZIG

ICCS

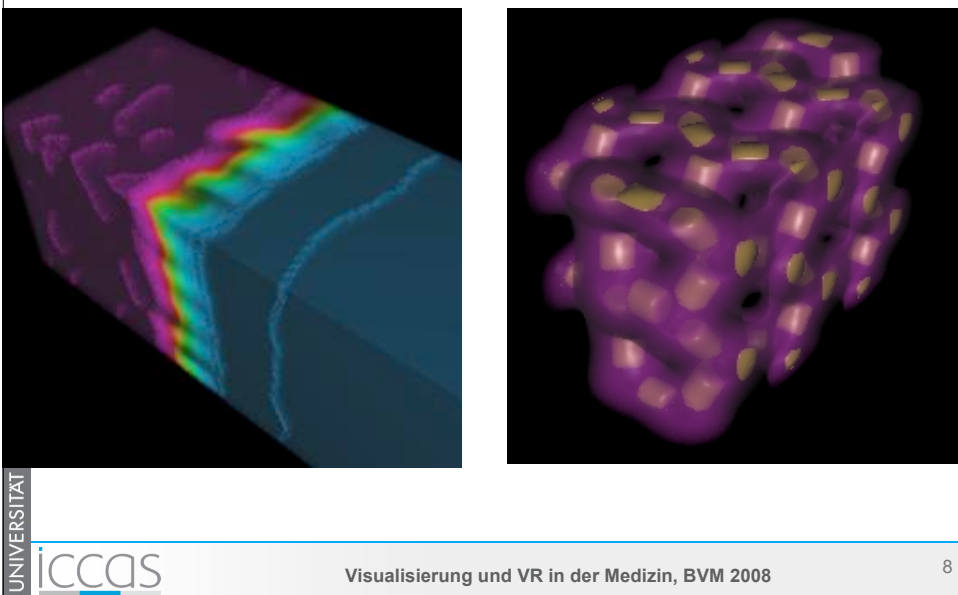
BVM 2008

7



Einführung (7)

Visual
Computing (VCM)



UNIVERSITÄT

ICCS

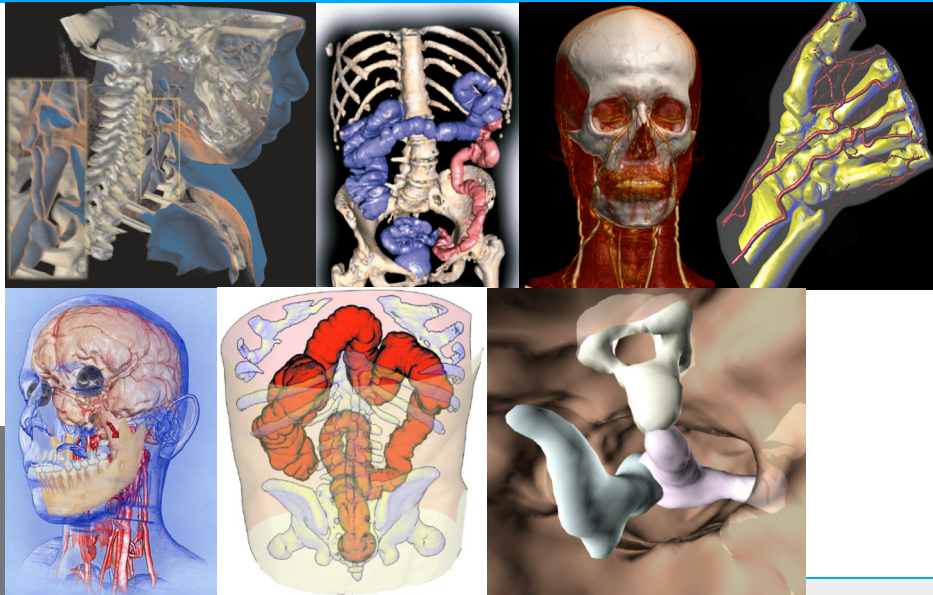
Visualisierung und VR in der Medizin, BVM 2008

8



Einführung (8)

Visual Computing (VCM)



Bilder: U Linköping, Biotronics3D, VRVis, TU Vienna, U Tübingen, U Leipzig

9

UNIVERSITÄT LEIPZIG

ICCS



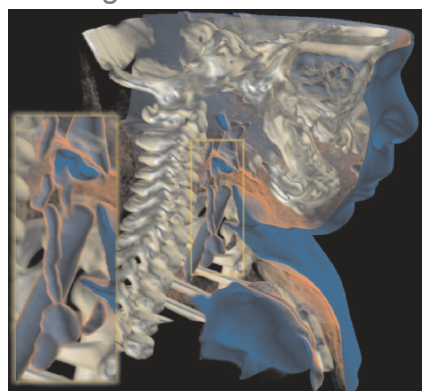
Einführung (9)

Visual Computing (VCM)

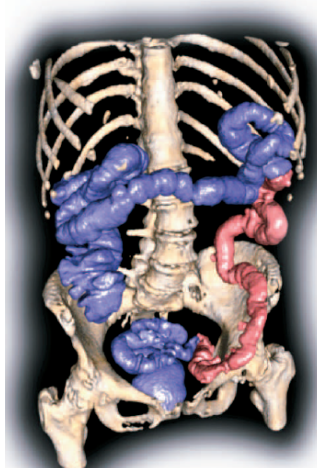


Direkte Volumendarstellung

- Diagnostische Untersuchung



Forensische Pathologie,
[Abb.: Linköping Univ.]



Polypdiagnose
[Abb.: Biotronics3D]

UNIVERSITÄT LEIPZIG

ICCS

Visualisierung und VR in der Medizin, BVM 2008

10

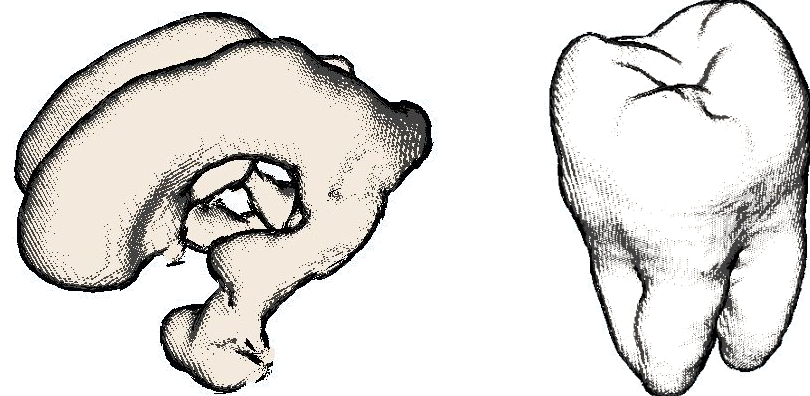


Einführung (10)

Visual Computing (VCM)

Illustrative Darstellung

- Diagnose



UNIVERSITÄT LEIPZIG

ICCS

Visualisierung und VR in der [Salah et al., SimVis2005]

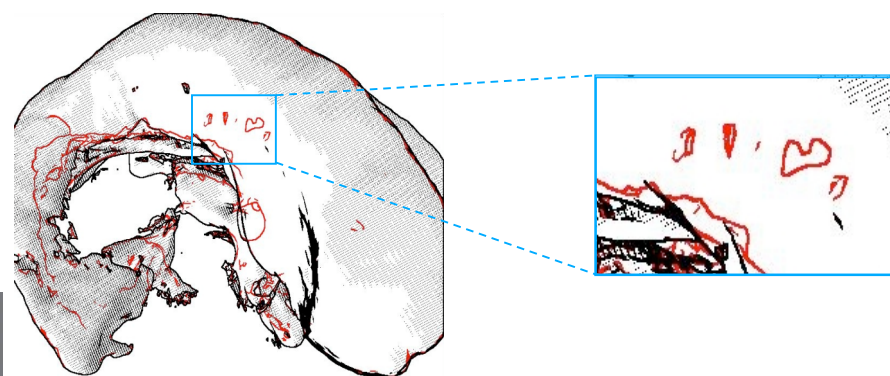


Einführung (11)

Visual Computing (VCM)

Illustrative Darstellung

- Diagnose



UNIVERSITÄT LEIPZIG

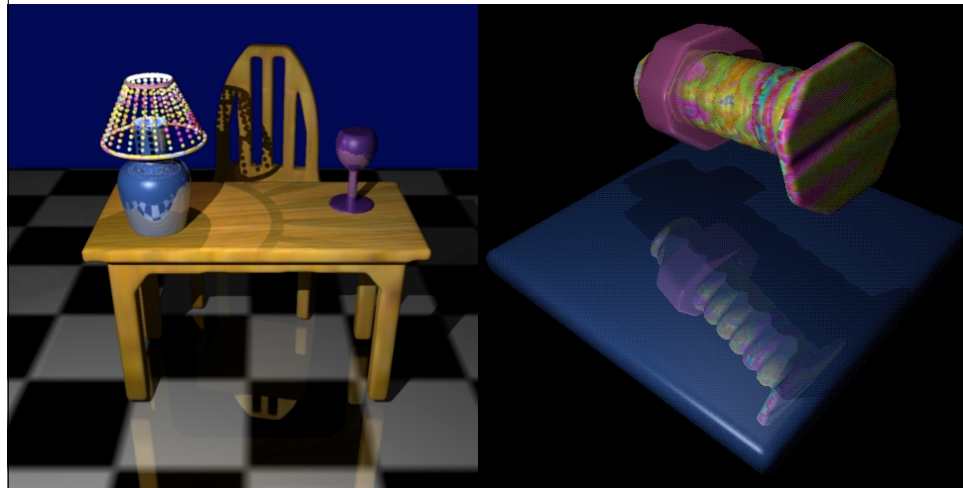
ICCS

Visualisierung und VR in [Fischer et al., IEEE Vis2005]



Einführung (12)

Visual Computing (VCM)



UNIVERSITÄT

iccas

Visualisierung und VR in der Medizin, BVM 2008

13

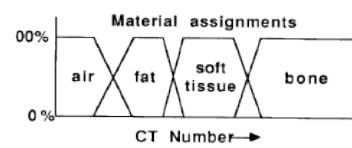
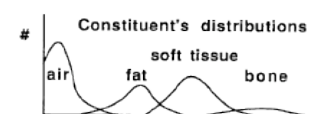
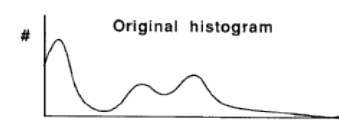


Datenanalyse

Visual Computing (VCM)

- Die **Häufigkeitsverteilung** der Voxel eines Datensatzes nennt man **Histogramm**:

- Bei 8bit: Häufigkeitsverteilung der 256 möglichen Datenwerte
- Bei 12bit: 4096 mögliche Datenwerte



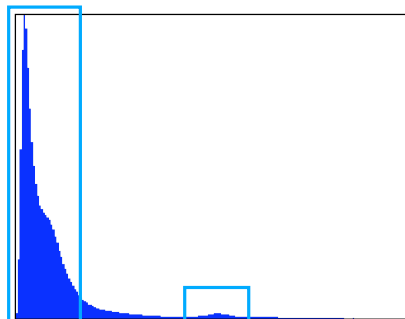
UNIVERSITÄT LEIPZIG

iccas

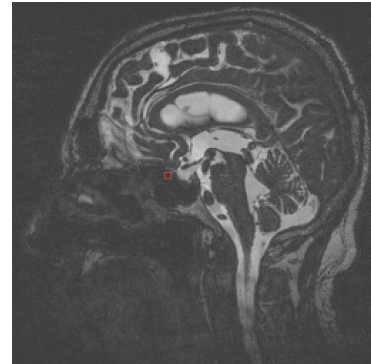
Visualisierung und VR in der Medizin, BVM 2008

14

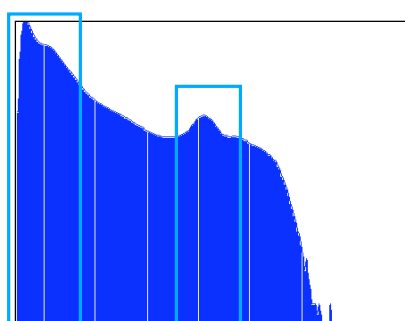
- MRT Datensatz, T2 gewichtet (Flüssigkeit)



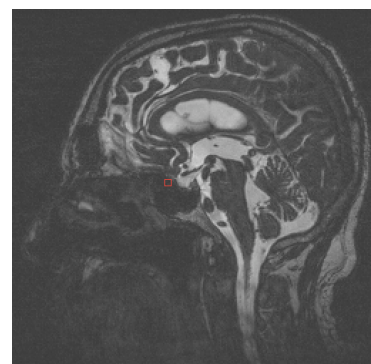
Lineares Histogramm



- MRT Datensatz, T2 gewichtet (Flüssigkeit)

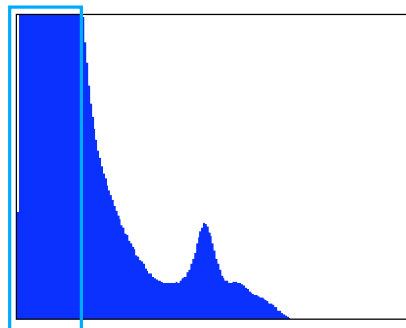


Logarithmisches Histogramm

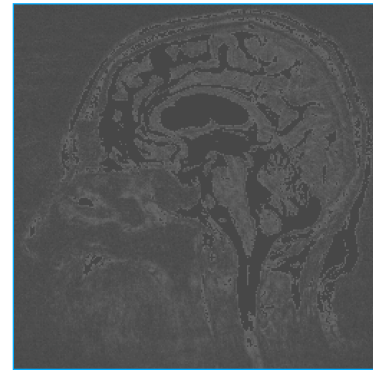


(heller gefiltert)

- MRT Datensatz, T2 gewichtet (Flüssigkeit)

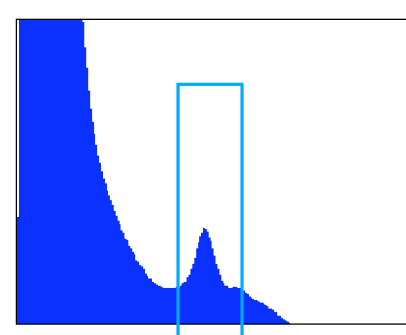


Skaliertes lineares Histogramm

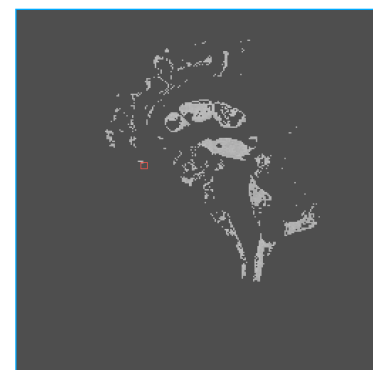


(heller gefiltert)

- MRT Datensatz, T2 gewichtet (Flüssigkeit)

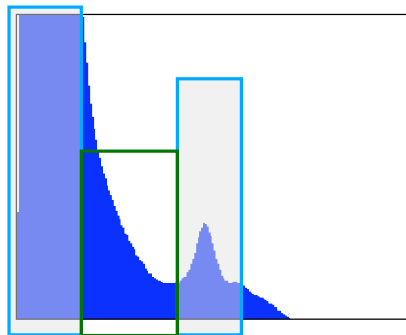


Skaliertes lineares Histogramm

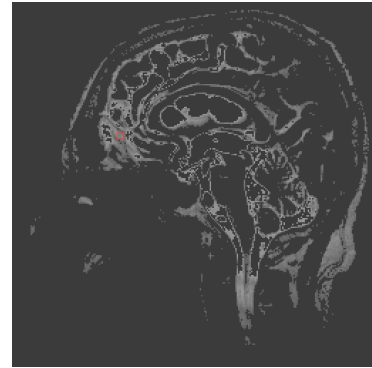


(heller gefiltert)

- MRT Datensatz, T2 gewichtet (Flüssigkeit)

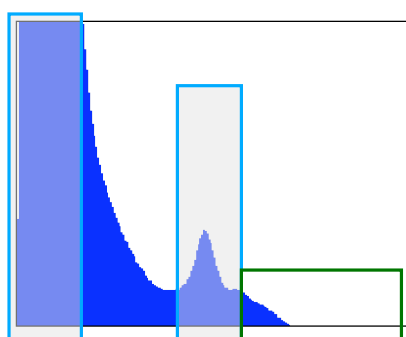


Skaliertes lineares Histogramm

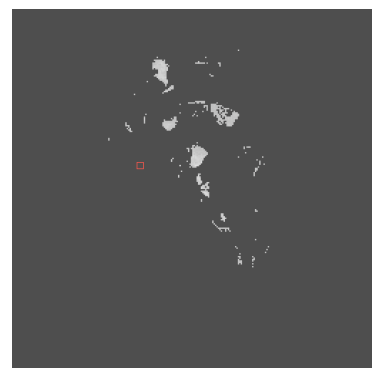


(heller gefiltert)

- MRT Datensatz, T2 gewichtet (Flüssigkeit)



Skaliertes lineares Histogramm



(heller gefiltert)



Transferfunktionen

- Histogrammwerten (Voxelwerte) werden Tupel aus **Farbe (r,g,b)** und **Opazität (α)** zugewiesen

$$t_f: v \rightarrow (r, g, b, \alpha)$$

- Fokus liegt auf **Materialgrenzen**
- Erhöht **Frequenzspektrum** im Datensatz:

$$f_{\text{ges}} = f_{\text{ds}} \times f_{\text{tf}}$$

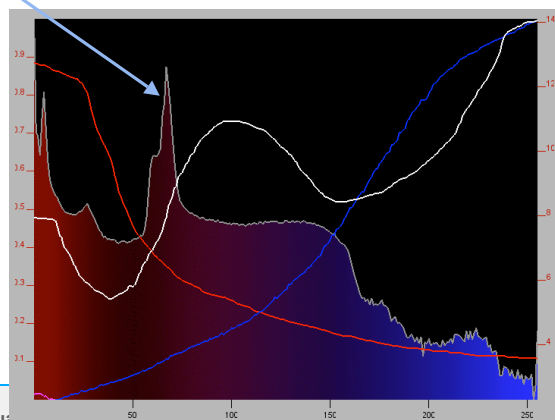
(und damit die Artefaktgefahr)



Transferfunktionen

Beispiel einer Transferfunktion

- Histogramm
- Steigende oder fallende Flanken deuten auf **Materialgrenze**
- Plateau** auf Material
- Gradientenbetrag** ist auch nützlich



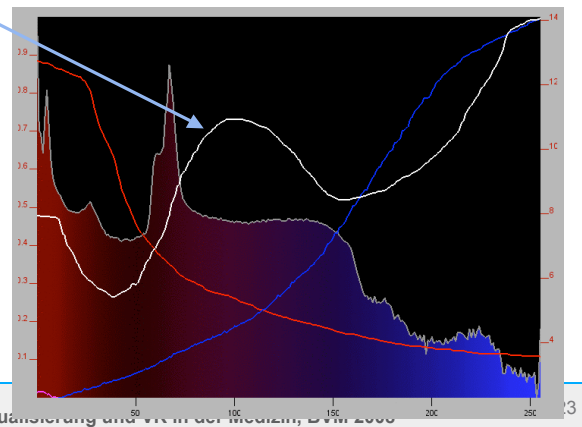


Transferfunktionen



Beispiel einer Transferfunktion

- Histogramm
- Opazität



UNIVERSITÄT LEIPZIG

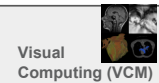
ICCS

Visualisierung und VR in den Medien, DVM 2008

13

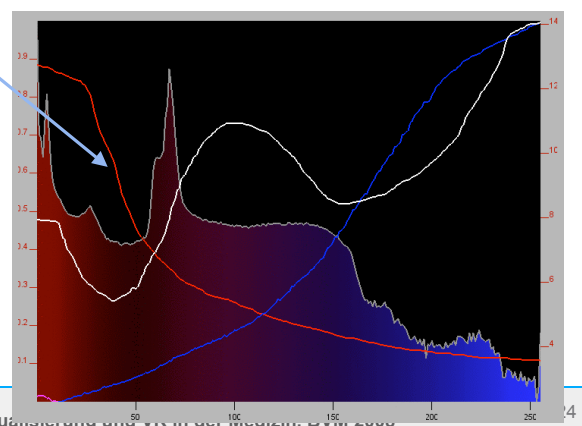


Transferfunktionen



Beispiel einer Transferfunktion

- Histogramm
- Opazität
- Roter Kanal



UNIVERSITÄT LEIPZIG

ICCS

Visualisierung und VR in den Medien, DVM 2008

14



Transferfunktionen



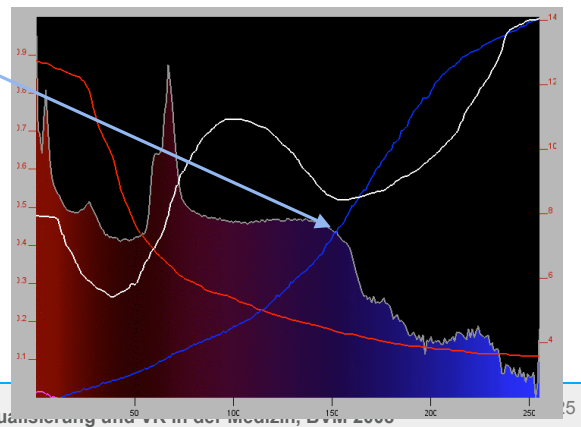
UNIVERSITÄT LEIPZIG

ICCS

Visualisierung und VR in den Medien, DVM 2008

Beispiel einer Transferfunktion

- Histogramm
- Opazität
- Roter Kanal
- Blauer Kanal



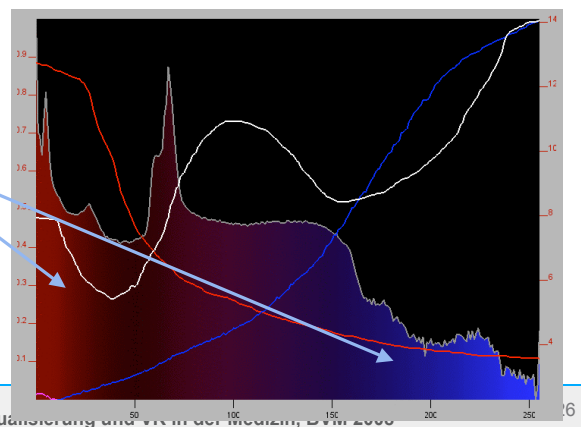
UNIVERSITÄT LEIPZIG

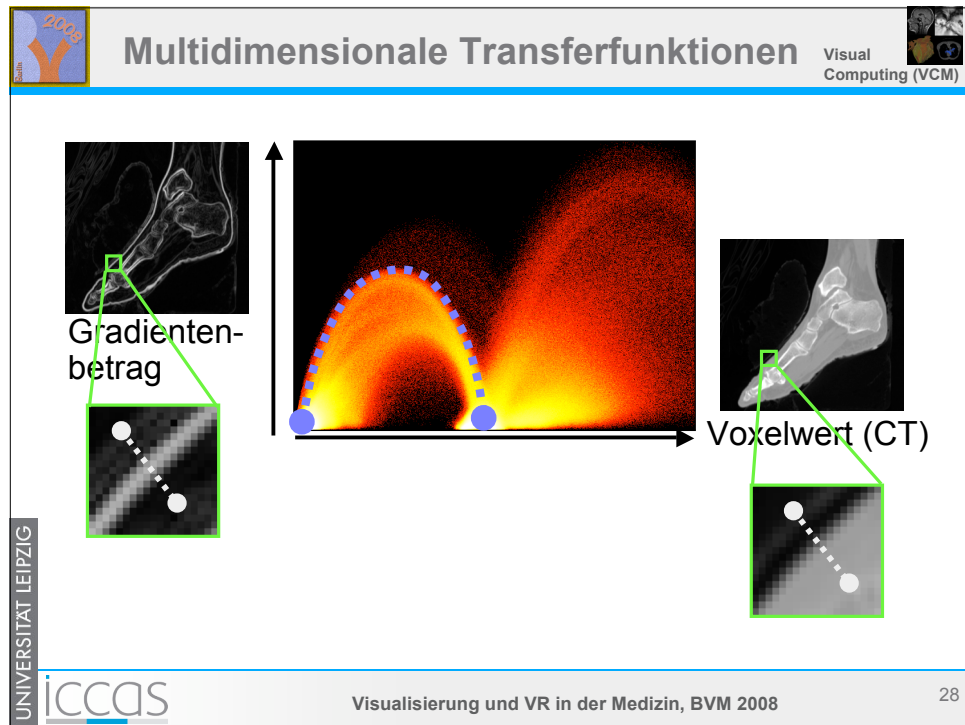
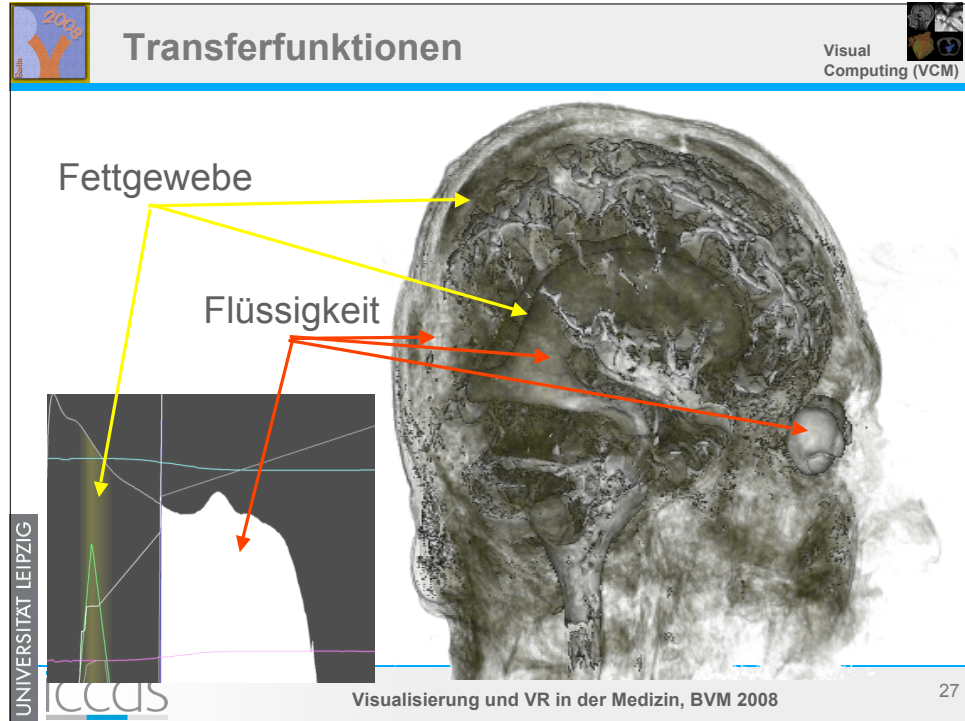
ICCS

Visualisierung und VR in den Medien, DVM 2008

Beispiel einer Transferfunktion

- Histogramm
- Opazität
- Roter Kanal
- Blauer Kanal
- Endfarbe





Multidimensionale Transferfunktionen

Visual Computing (VCM)

- Materialgrenzen können mit Hilfe des Gradientenbetrags beschrieben werden

UNIVERSITÄT LEIPZIG

ICCAS

Visual Computing (VCM)

Volumendarstellung

Visual Computing (VCM)

- Strahlen werden in **diskreten Abständen** (Abtastpunkte) durch die Bildebene **ins Volumen geschossen** (casten)
- Abtastpunkte** werden durch Interpolation in der Zelle bestimmt
- Abtastpunkte werden **klassifiziert** (Transferfunktionen), **beleuchtet** (Normale) und **akkumuliert** in Bildebene (Composting)
- Standardmethode (Ray Casting)

UNIVERSITÄT LEIPZIG

ICCAS

Visualisierung und VR in der Medizin, BVM 2008

30



Volumendarstellung

Visual Computing (VCM)

- Identifiziert Materialgrenzen (Oberflächen) und betont sie durch die Modellierung des Lichts
 - Erfordert Normalen (approximiert durch Gradienten)
 - Abbildung von Dichten/Intensitäten auf Farben
 - Aufgabe der **Transferfunktionen**
- Mehrere eingebettete Oberflächen möglich
 - Deshalb semi-transparente Darstellung vorderer Oberflächen
 - Und akkumulierte Farben
 - Auch durch **Transferfunktionen**



J. Kniss

UNIVERSITÄT LEIPZIG

ICCS

Visualisierung und VR in der Medizin, BVM 2008

31



Raycasting Fundamentals

Visual Computing (VCM)

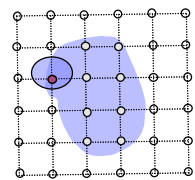
UNIVERSITÄT LEIPZIG

ICCS

Visualisierung und VR in der Medizin, BVM 2008

32

Akkumulation



Farbe

$$\text{Opazität} = (1 - \text{Transparenz})$$

1.0

Objekt (color, opacity)



Raycasting Fundamentals

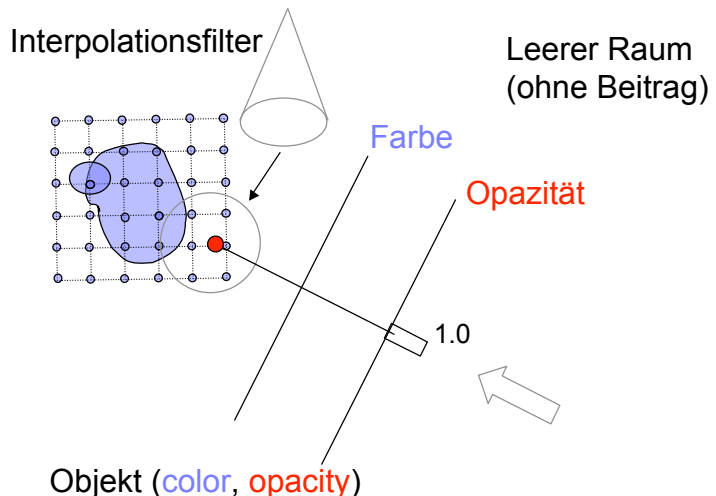
Visual Computing (VCM)

UNIVERSITÄT LEIPZIG

ICCS

Visualisierung und VR in der Medizin, BVM 2008

33



Raycasting Fundamentals

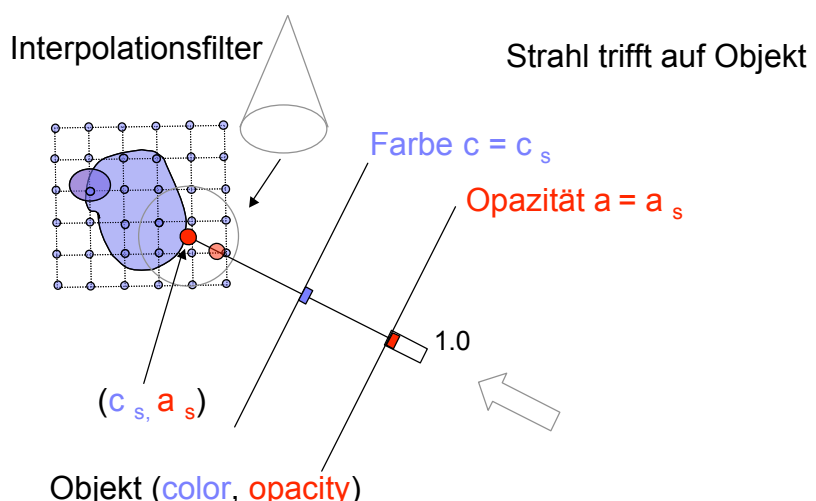
Visual Computing (VCM)

UNIVERSITÄT LEIPZIG

ICCS

Visualisierung und VR in der Medizin, BVM 2008

34





Raycasting Fundamentals

Visual Computing (VCM)

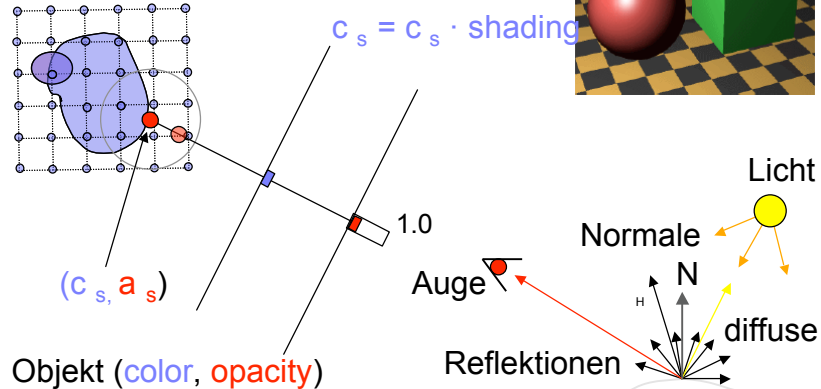
Beleuchtung (Phong-Modell)

UNIVERSITÄT LEIPZIG

ICCS

Visualisierung und VR in der Medizin, BVM 2008

35



UNIVERSITÄT LEIPZIG

ICCS

Visualisierung und VR in der Medizin, BVM 2008

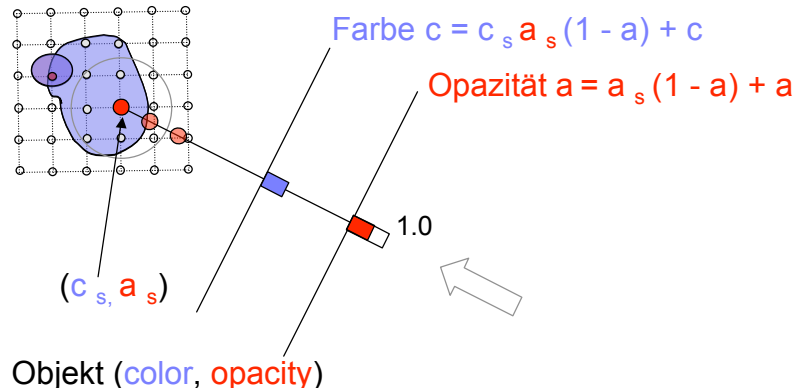
36



Raycasting Fundamentals

Visual Computing (VCM)

Akkumulation





Raycasting Fundamentals

Visual Computing (VCM)

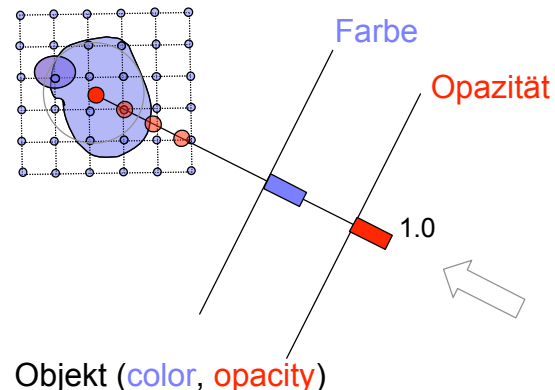
UNIVERSITÄT LEIPZIG

ICCS

Visualisierung und VR in der Medizin, BVM 2008

37

Akkumulation



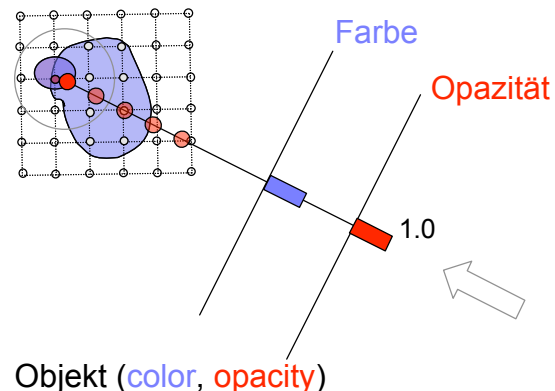
UNIVERSITÄT LEIPZIG

ICCS

Visualisierung und VR in der Medizin, BVM 2008

38

Akkumulation





Raycasting Fundamentals

Visual Computing (VCM)

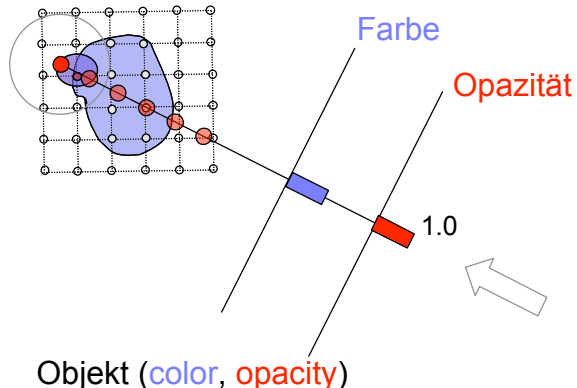
UNIVERSITÄT LEIPZIG

ICCS

Visualisierung und VR in der Medizin, BVM 2008

39

Akkumulation



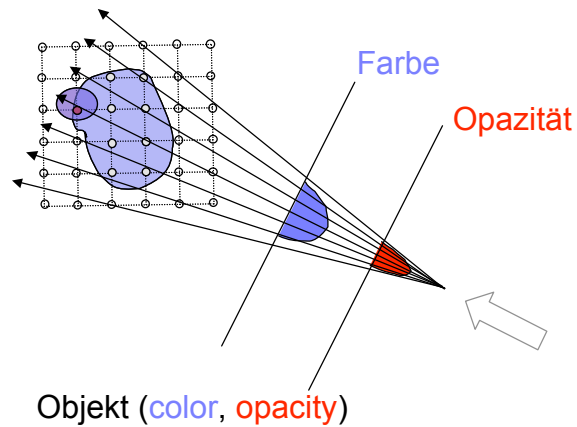
UNIVERSITÄT LEIPZIG

ICCS

Visualisierung und VR in der Medizin, BVM 2008

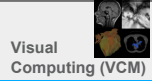
40

Endbild





Compositing (1)



- **Verknüpft** die **einzelnen beleuchteten Abtastwerte** zum Gesamtbeitrag
- **Berechnet** das Volume-Rendering-Integral (bzw. seine Approximation)
- Sehr **empfindlich für Fehler** bei zu geringer Genauigkeit (oft das Problem bei Hardware-basierten Volume-Rendering-Verfahren)

$$I(s) = I_{s_0} e^{\left(- \int_{s_0}^s \tau(t) dt \right)} + \int_{s_0}^s q(p) e^{\left(- \int_{s_0}^p \tau(t) dt \right)} dp$$



Compositing (2)



- Wir brauchen eine diskrete Approximation des Volume-Rendering-Integrals:
 - Approximation des Integrals durch Summe über konstante Schrittweite Δs , und
 - $s_i = i \Delta s$ als aktueller Abtastwert von n Werten
 - Wir nehmen an: $s_0 = 0$ (Vereinfachung)

$$e^{-\int_0^s \tau(t) dt} = e^{-\sum_{i=0}^{n-1} \tau(i \Delta t) \Delta t} = \prod_{i=0}^{n-1} e^{\tau(i \Delta t) \Delta t} = \prod_{i=0}^{n-1} t_i$$

Transparenz



Compositing (3)

Visual Computing (VCM)

- Ähnlich wie s , wird $q(s)$ mit $q_i = q(i \Delta s)$ ersetzt:

$$\int_0^s q(p) e^{\left(-\int_p^s \tau(t) dt \right)} dp = \sum_{i=0}^{n-1} q_i \Delta p \prod_{j=i+1}^{n-1} t_j$$

- und damit insgesamt:

$$I(s) = I_o \prod_{i=0}^{n-1} t_i + \sum_{i=0}^{n-1} q_i \Delta s \prod_{j=i+1}^{n-1} t_j$$

Hintergrundlicht

Transparenz



Compositing (4)

Visual Computing (VCM)

- Analog zur vereinfachten Darstellung

$$I(s) = \int_0^s g(p) \tau(p) e^{\left(-\int_0^p \tau(t) dt \right)} dp$$

- findet man auch häufig, mit $s = n \Delta s$:

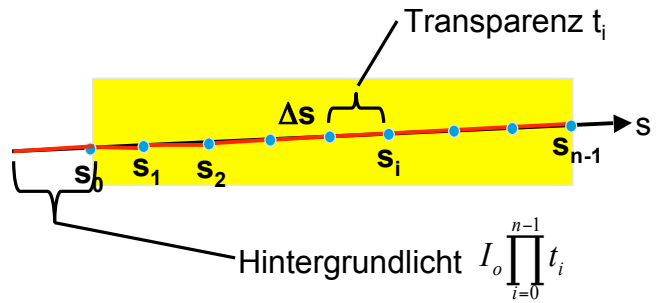
$$I(s) = \sum_{i=0}^{n-1} g(i \Delta s) \tau(i \Delta s) \prod_{j=0}^{i-1} e^{-\tau(j \Delta s)}$$



Compositing (5)

Visual Computing (VCM)

- Anschaulich:



Compositing (6)

Visual Computing (VCM)

- Over-Operator ist assoziativ (hier n=3):

$$\begin{aligned}I(s) &= I_o \prod_{i=0}^2 t_i + \sum_{i=0}^2 q_i \prod_{j=i+1}^2 t_j \\&= I_o(t_0 t_1 t_2) + (q_0 t_1 t_2 + q_1 t_2 + q_2) \\&= q_2 + t_2(q_1 + t_1 (q_0 + t_0 I_o)) \\&= q_2 \text{ over } (q_1 \text{ over } (q_0 \text{ over } I_o))\end{aligned}$$



Compositing (7)

Visual Computing (VCM)

- Summe/Produktreihe aufzulösen
 - Back-to-Front Algorithmen

```
I = I0
for(i=0; i<=n-1; i++)
    I = I*ti + qi
```

UNIVERSITÄT LEIPZIG

ICCS

Visualisierung und VR in der Medizin, BVM 2008

47



Compositing (8)

Visual Computing (VCM)

Summe/Produktreihe aufzulösen

- **Front-to-Back Algorithmen** verwendet

```
I=0; T = 1; i=n-1;
while (T > elower && i >= 0)
    I = I*T + qi;
    T = T*ti;
    i--;
    I = I + T*I0;
```

- Vorteil: **Early Ray Termination**, wenn T/a sehr nahe an 0/1 (voll transparent/opak) liegt.

UNIVERSITÄT LEIPZIG

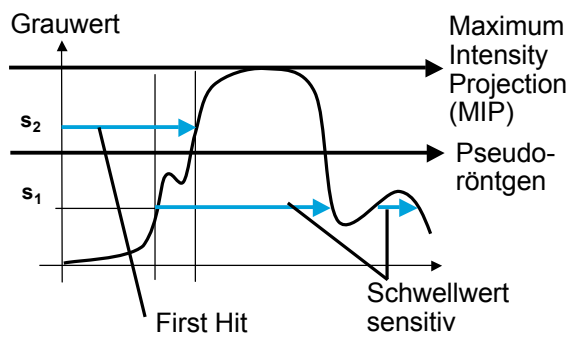
ICCS

Visualisierung und VR in der Medizin, BVM 2008

48

- **Darstellungsmodi:** Röntgen, MIP, Beleuchtete Darstellung
- **Elementares Volumenrendern:** Raycasting
- **Transferfunktionen:** bilden Rohdaten auf Visualisierung ab
- **Darstellungsqualität:** post- vs. Pre-beleuchtete Darstellung
- **Kontrolle Darstellungsaufwand:** Verdeckung, Bedeutung
- **Darstellungsbeschleunigung:** Nutze GPUs

- **Spezielle Compositing-Verfahren:**





Volumendarstellung: Pseudo-Röntgen

Visual Computing (VCM)

- Akkumulationsvariationen ergeben **unterschiedliche Ergebnisse**
- Gleichmäßige Integration - Pseudo-Röntgen
- Gut für ersten Überblick
- Aber Überzeichnung und Dichte erschweren Interpretation



UNIVERSITÄT LEIPZIG

ICCAS

Visualisierung und VR in der Medizin, BVM 2008

51



Volumendarstellung: Pseudo-Röntgen

Visual Computing (VCM)

- Akkumulationsvariationen ergeben **unterschiedliche Ergebnisse**
- Gleichmäßige Integration - Pseudo-Röntgen
- Gut für ersten Überblick
- Aber Überzeichnung und Dichte erschweren Interpretation



UNIVERSITÄT LEIPZIG

ICCAS

Visualisierung und VR in der Medizin, BVM 2008

52

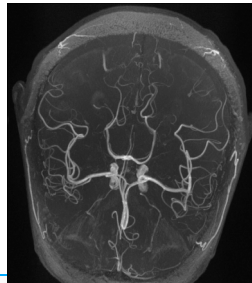


Volumendarstellung: MIP

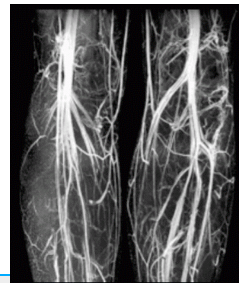
Visual Computing (VCM)

- MIP = Maximum Intensity Projection
- Eingeschränkter als Pseudo-Röntgen
- Sucht nur Maximum entlang des Strahls
- Nimmt an, dass Maximum am wichtigsten ist
- Klinisch oft für ersten Blick verwendet
- Sehr gut bei Angiographien

Kopf



Beine



UNIVERSITÄT LEIPZIG

ICCS

Visualisierung und VR in der Medizin, BVM 2008

53

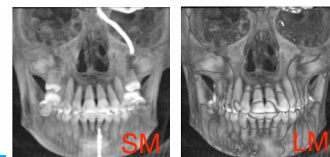
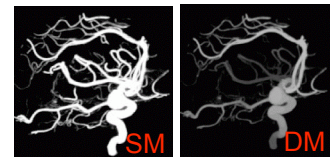


Volumendarstellung: MIP

Visual Computing (VCM)

Variationen der MIP

- Standard MIP (SM)
- Dünnschicht-MIP (TM)
(thin-slab MIP)
- Tiefen-gewichtetes MIP (DM)
(Depth-shaded MIP)
- Lokales Maximum MIP (LM)



UNIVERSITÄT LEIPZIG

ICCS

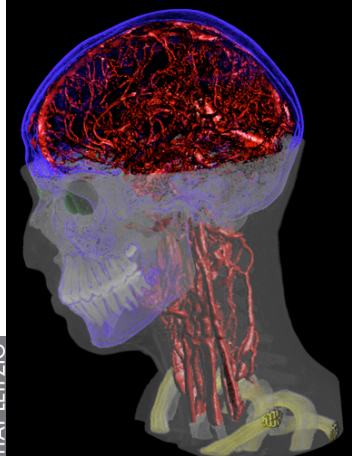
Visualisierung und VR in der Medizin, BVM 2008

54



Bsp: Two-Level Volume Rendering

Visual Computing (VCM)



- Haut und Zähne: MIP mit unterschiedlichen Gewichtungen
- Blutgefäße und Augen: Volumendarstellung
- Schädel: Illustrative Konturen
- Wirbel: Gradientenbetragsgewichtete Volumendarstellung
- Anwendung einer Schnittebene auf Haut

[Hauser et al. 2001]

UNIVERSITÄT LEIPZIG

ICCS

Visualisierung und VR in der Medizin, BVM 2008

55



Compositing (10)

Visual Computing (VCM)

Volume-Rendering-Pipeline revisited: Pre-Beleuchtung

- Erzeugt **Farbvolumen** ($RGB\alpha$) statt Skalarvolumen
- Abtastung ist **Interpolation im Farbraum**
- Dadurch können **Farbartefakte** entstehen (Farbbluten)
- Korrektur durch **opazitätsgewichtete** Interpolation
[Wittenbrink et al. VolVis 1998]

UNIVERSITÄT LEIPZIG

ICCS

Visualisierung und VR in der Medizin, BVM 2008

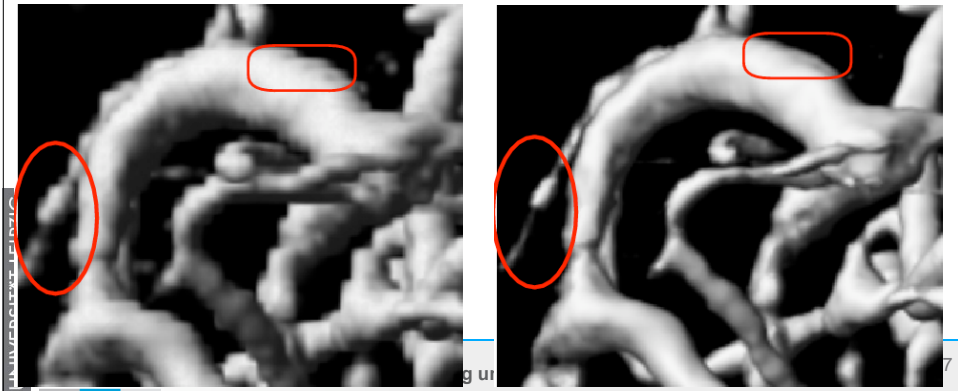
56



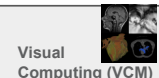
Compositing (11)



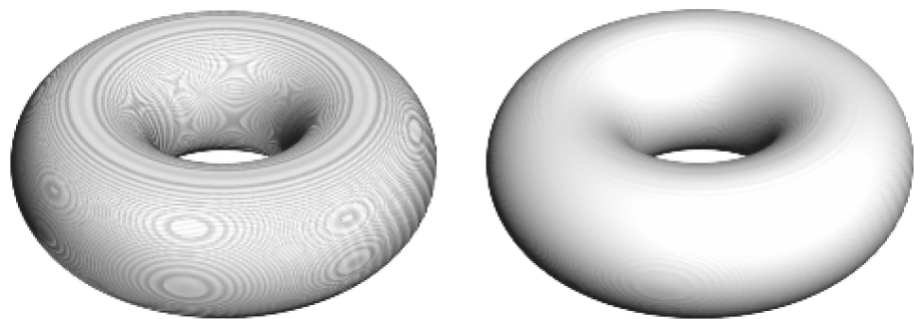
Volume-Rendering-Pipeline revisited: Pre-Beleuchtung und Farbartefakte



Compositing (12)



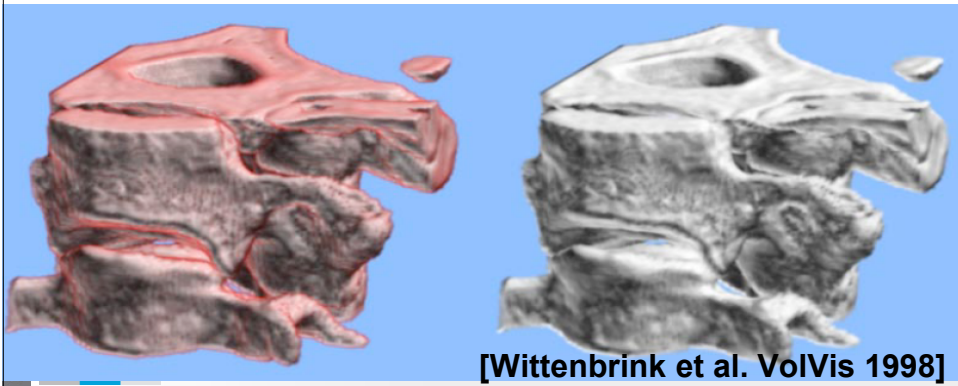
Volume-Rendering-Pipeline revisited: Pre-Shading und Farbartefakte



[Wittenbrink et al. VoVis 1998]



Volume-Rendering-Pipeline revisited: Pre-Shading und Farbartefakte



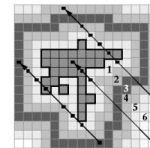
- Gedanken machen über
 - Cache-Management -- Cache-Faults sind teuer
 - Spezifizierte Darstellungsaufland -- Verbrauche Ressourcen nicht auf Kleinigkeiten
 - Detailmanagement -- Konzentriere Aufwand auf wichtige und Fokusregionen
 - Letzteres durch Segmentierung und Klassifikation bestimmen



Kontrolle Darstellungsaufwand (2)

Visual Computing (VCM)

- Nutze Early-Ray-Termination ($\alpha < 0.9$)
 - β -acceleration [Danskin 92] beschleunigt Strahlen je opaker sie werden
- Space leaping
 - Überspring Leerraum zwischen Objekten
 - Statisches Schemata für feste Transferfunktionen clouds [Cohen 94], Distanzfelder [Hong 97] [Srámek 00])
 - Oder dynamische Schemata mit Raumauflösungen wie Octrees



UNIVERSITÄT LEIPZIG

ICCS

Visualisierung und VR in der Medizin, BVM 2008

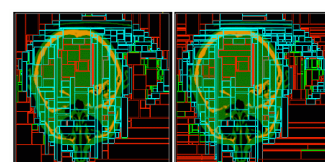
61



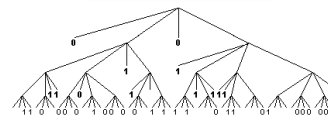
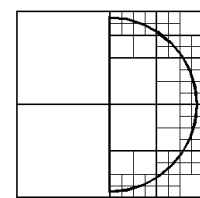
Kontrolle Darstellungsaufwand (3)

Visual Computing (VCM)

- Hierarchische Raumauflösung
 - Speichere min-max Voxelwerte in jedem Knoten
 - Überspringe Knoten mit Null-Transferfunktion im Intervall
 - sonst, rekursives absteigen im Baum [Wilhelms 1990]
- Unregelmäßige Raumauflösungen
 - BSP-trees, kd-trees, etc.



[Li 03]



UNIVERSITÄT LEIPZIG

ICCS

Visualisierung und VR in der Medizin, BVM 2008

62

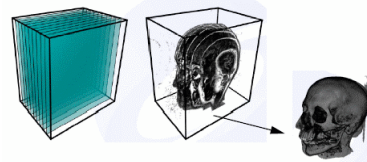


GPU Rendering: Konzept

Visual Computing (VCM)

Basisansatz [Rezk-Salama 01]

- Repräsentiere Volumen als Stapel von ausgerichteten "Proxy-Polygonen"
- Volumenschichten werden mit Texturemapping auf Proxies abgebildet
- Polygone werden projiziert, von vorne nach hinten
- Schicht für Schicht beleuchtet und zusammengefügt



UNIVERSITÄT LEIPZIG

ICCS

Visualisierung und VR in der Medizin, BVM 2008

63

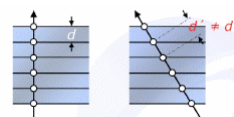


GPU Rendering: Probleme

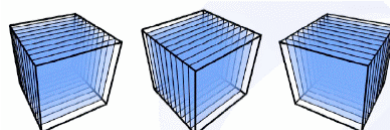
Visual Computing (VCM)

Hauptnachteile:

- Abtastabstand d ist größer als 1.0 für nicht achsenparallele Blickrichtungen



- Braucht drei Volumenstapel für jede Hauptrichtung



from: Engel, Kraus, Ertl, Graphics Hardware Workshop 2001

UNIVERSITÄT LEIPZIG

ICCS

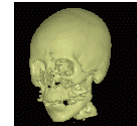
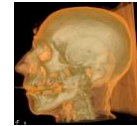
Visualisierung und VR in der Medizin, BVM 2008

64



GPU Rendering: Zusammenfassung

- Der Texturemapping-Ansatz ermöglicht hohe Darstellungsrraten für moderat-große Datensätze
- Neuere GPU-basierte Ansätze verwenden:
 - Raycasting ("natürlichere" Variante)
 - Empty-space Skipping
 - Early-Ray-Termination, Verdeckungsrechnung
 - Fortgeschrittene Effekte (Schatten, Material-eigenschaften, weiterentwickelte Beleuchtung, etc.)
 - Mischen von Polygonen und Voxeln
- Insgesamt Vorteile bei Geschwindigkeit (Flexibilität, Qualität)



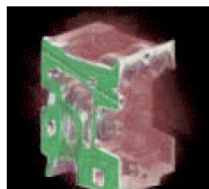
Qualitätsfragen

- Wann wird Beleuchtet
 - Vor Interpolation (Pre-shading)
 - Nach Interpolation (post-shading)
- Beide Reihenfolge haben Vorteile
 - Pre-shading erfordert keine aufwendige Beleuchtung während der Interpolation
 - Hat aber auch schlechtere Qualität (Farbbluten, Blurring)
 - Post-shading ist aufwendiger
 - hat aber bessere Qualität [Mueller 1999]
 - Erfolgt nur in relevanten Regionen
- Pre-Integrated Shading [Engel 2001]

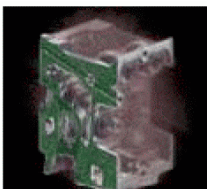


Gradientenmodellierung

- Um Grenzflächen zu betonen, kann Farbe oder Opazität mit dem Gradientenbetrag multipliziert werden



Keine



Opazität



Beleuchtung



Beide



- Verfahren** bestimmt Darstellungsqualität
- Abtastrate** wichtig für Qualität:
 - Je höher, desto besser, desto langsamer
 - Abtastrate wird häufig **bei Bewegung gesenkt**
- Interpolationsverfahren** (Abtastwerte) beeinflusst Qualität



Volumen- vs. Oberflächendarstellung



- **Unterschiedliche** Stärken und Schwächen
- **Anwendung** bestimmt Wahl

Volumendarstellung

- Voxel als Basiselement
- Direkte Repräsentation
- Bessere visuelle Qualität (Interpolation)
- Teurer
- Schwieriger zu kontrollieren
- Meist benutzt wenn kein Vorwissen vorhanden ist

Oberflächendarstellung

- Dreieck als Basiselement
- Metarepräsentation
- Reduzierte visuelle Qualität (Interpolation)
- Günstiger
- Leichter zu kontrollieren
- Meist benutzt wenn Vorwissen vorhanden ist

UNIVERSITÄT LEIPZIG

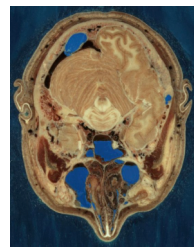
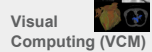
ICCS

Visualisierung und VR in der Medizin, BVM 2008

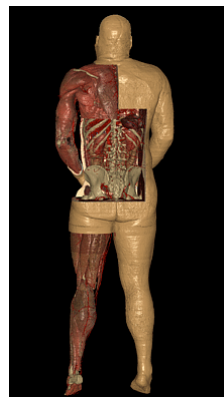
69



Anatomie heute: Visible Human/Korean



Schnitt durch
Visible Human,
Quelle: NLM



3D-Rekonstruktion,

<http://vkh3.kisti.re.kr/>

VR in der Medizin, BVM 2008

70



Limitationen von Volumendaten - Aliasingprobleme

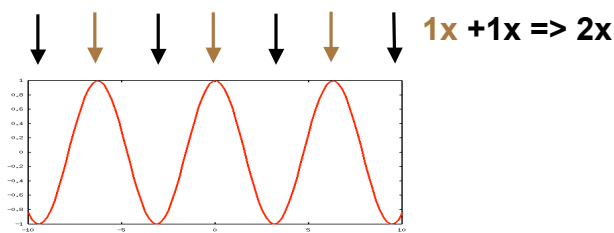
Die meisten Bild-/Volumenartefakte können zurückgeführt werden auf

- Verletzung des **Abtasttheorems**
- **Partialvolumeneffekte**
- **Interpolationsartefakte**



Abtasttheorem (Nyquist, Shannon):

- Für eine geeignete Rekonstruktion eines Signals (zB. Bilddaten) braucht man mindestens eine **doppelt so schnelle** Abtastung (Frequenz) als das Ursprungssignal selbst (**Nyquist - Rate**)





Anatomie der Daten - Artefakte

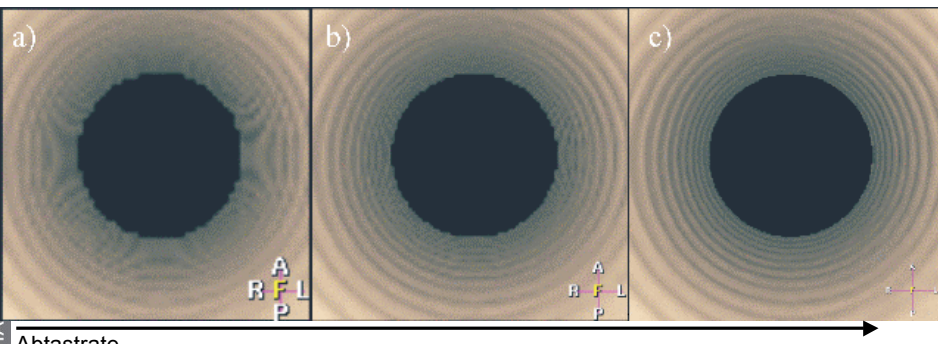
Visual Computing (VCM)



Alias-Effekte bei Unterabtastung

- Moiré-Artefakte verschwinden bei ausreichender Abtastung

UNIVERSITÄT LEIPZIG



Abtastrate

iccas

Visualisierung und VR in der Medizin, BVM 2008

73

UNIVERSITÄT LEIPZIG



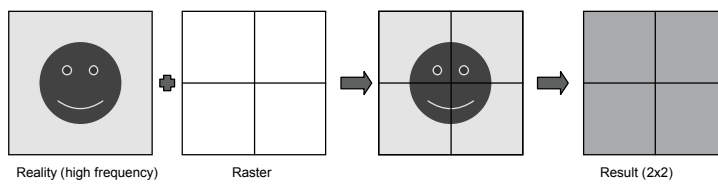
Anatomie der Daten - Artefakte

Visual Computing (VCM)



Partialvolumeneffekte

- I.W. auch durch Unterabtastung (Volumenrekonstruktion)
- Hohe **Intensitätsunterschiede** zwischen benachbarten Strukturen
- Abtastung reflektiert diese Unterschiede (hohe Frequenzen) nicht
- Artefakte der Materialgrenzen**(zB., Löcher, Pseudoverbindungen) wegen inhärenter **Glättung**



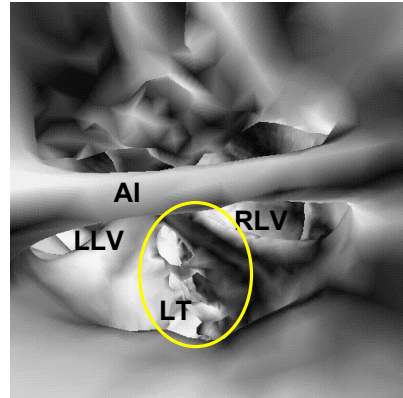
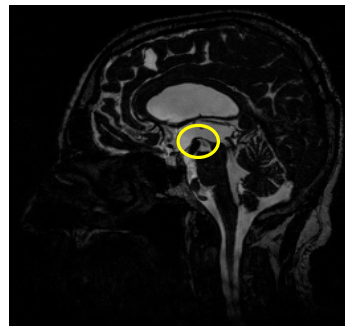
iccas

Visualisierung und VR in der Medizin, BVM 2008

74

Partialvolumeneffekte

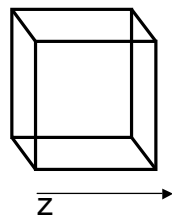
- Große **Intensitätsunterschiede** verursachen Defekte im Materialschnittstellen



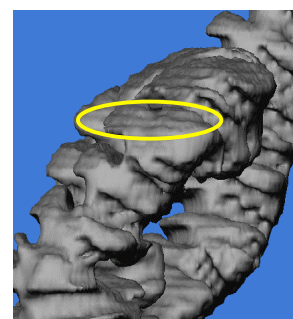
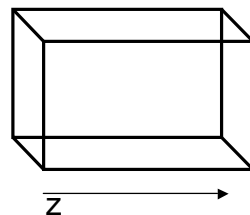
Treppenartefakte

- Problem der Normalen (\vec{n}) bei anisotropen Datsätzen

isotrop



anisotropic





Literatur

Visual
Computing (VCM)



- Engel, Kraus, Ertl: High-quality Pre-integrated Volume Rendering Usinig Hardware Accelerated Pixel Shadiing, In Proc. Symposium on Graphics Hardware, 2001.
- Hauser, Mroz, Bischi, Gröller: Two-level Volume Rendering, In IEEE Trans. on Visualizaion and Computer Graphics, 7(3), 2001.
- Kindlmann/Durkin: Semi-automatic Generation of Transfer Functions for Direct Volume Rendering, In Proc. IEEE/ACM Symposium on Volume Visualization, 1998.
- Kniss, Kindlmann, Hansen: Multi-dimensional Transfer Functions for Interactive Volume Rendering, In Proc. IEEE Visualization, 2002.
- Levoy: Display of Surfaces from Volume Data, In IEEE Computer Graphics & Applications, 8(3), 1988.
- Meissner, Huang, Bartz, Mueller, Crawfis: A Practical Evaluation of Four Volume Rendering Algorithms, In Proc. IEEE/ACM Symposium on Volume Visualization, 2000.
- Preim/Bartz: Visualization in Medicine, Morgan-Kaufmann, 2007.
- Reszk-Salama et al.: Real-Time Volume Graphics, AK. Peters, 2006.
- Wittenbrink, Malzbender, Goss: Opacity-weighted Color Interpolation for Volume Sampling, In Proc. IEEE/ACM Symposium on Volume Visualization, 1998.

UNIVERSITÄT LEIPZIG

ICCAIS

Visualisierung und VR in der Medizin, BVM 2008

77